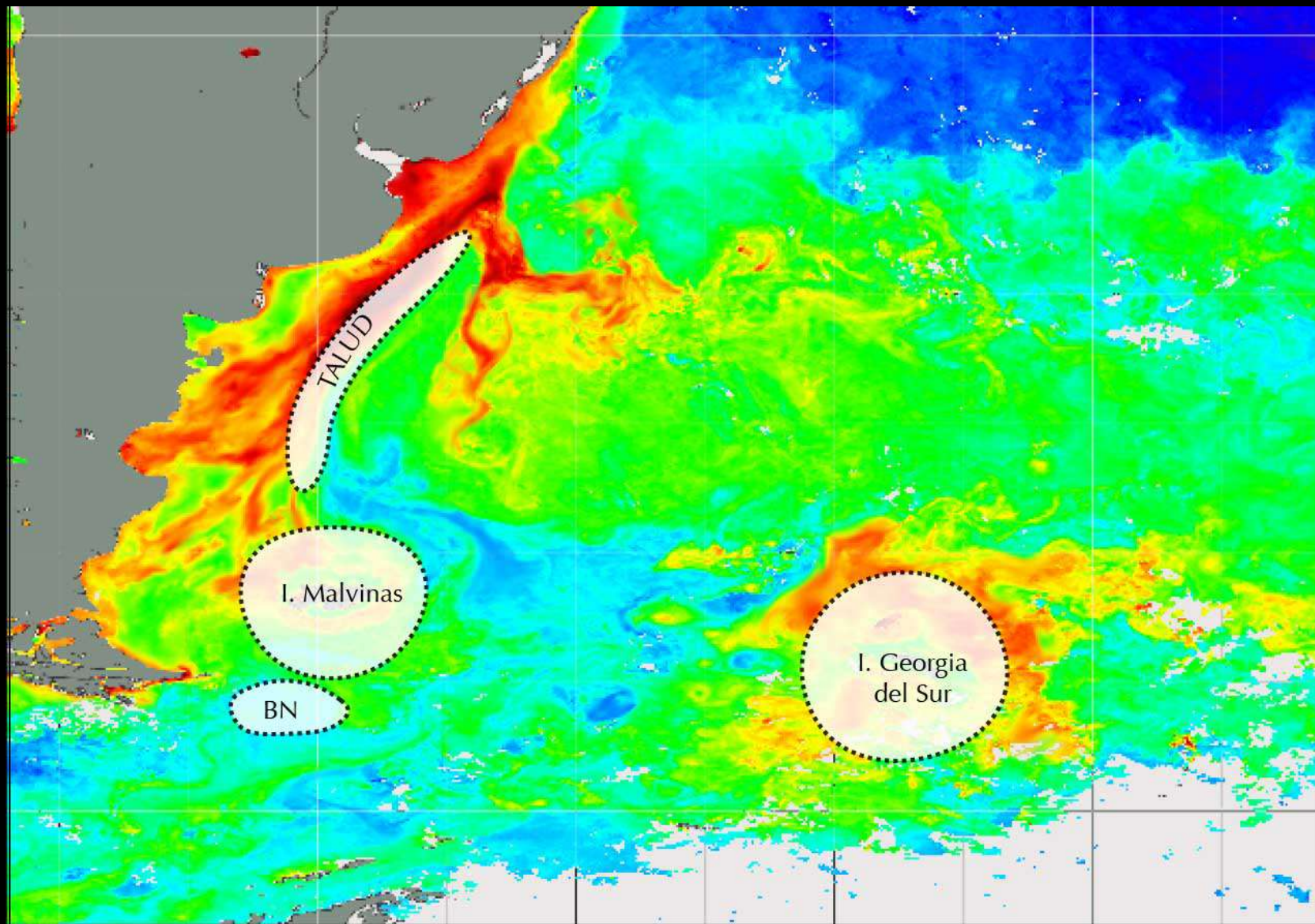


Sistemas de Surgencia de la “Patagonia Grande”

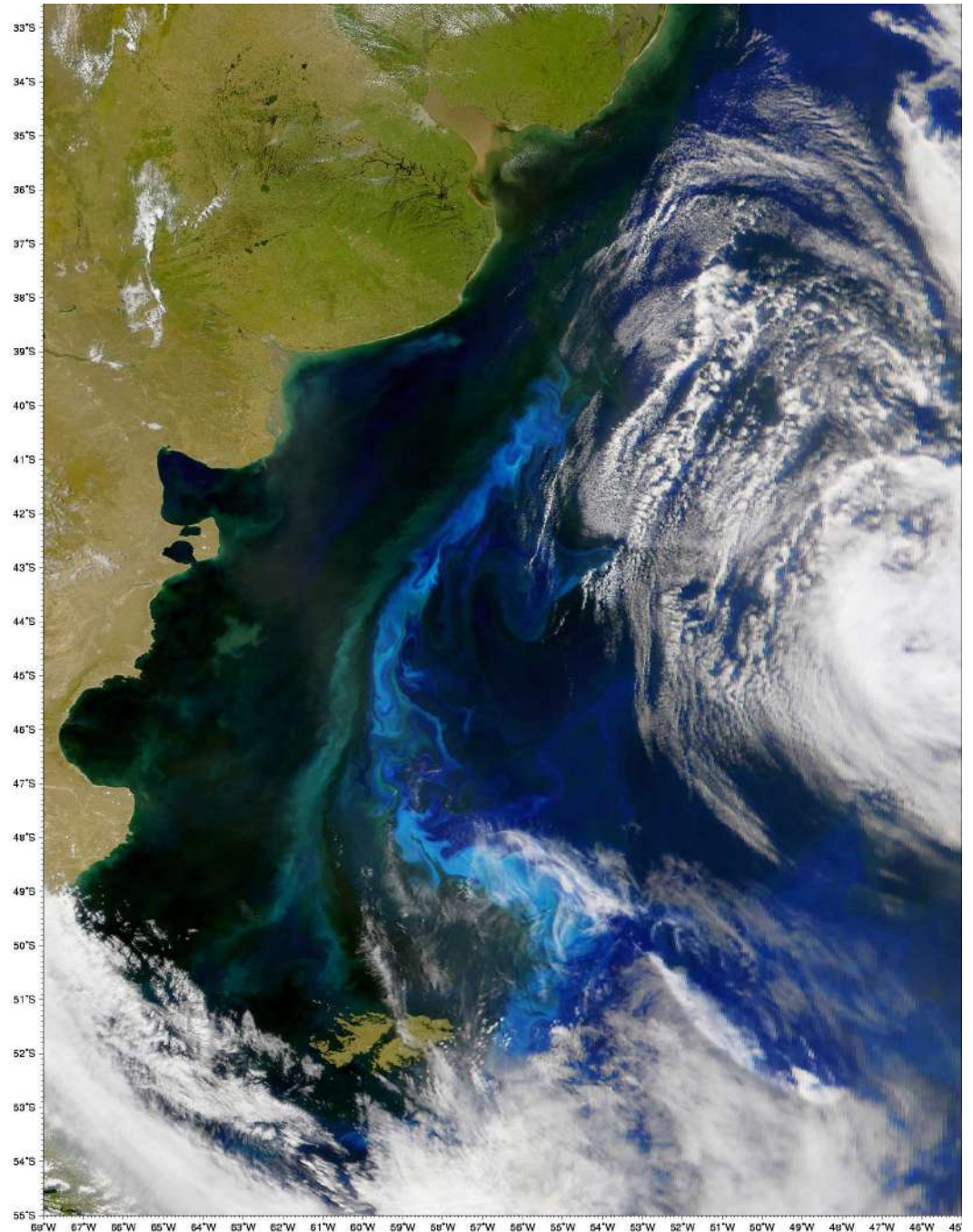
Ricardo P. Matano, Elbio D. Palma, Vincent Combes

CEOAS, Oregon State University, USA — Universidad Nacional del Sur & IADO/CONICET



Frente de Talud

Cuales son las fuentes de nutrientes del frente de talud?



Procesos locales: surgencia

- Fricción de fondo

Matano & Palma, 2008, J. Phys. Oceanogr.

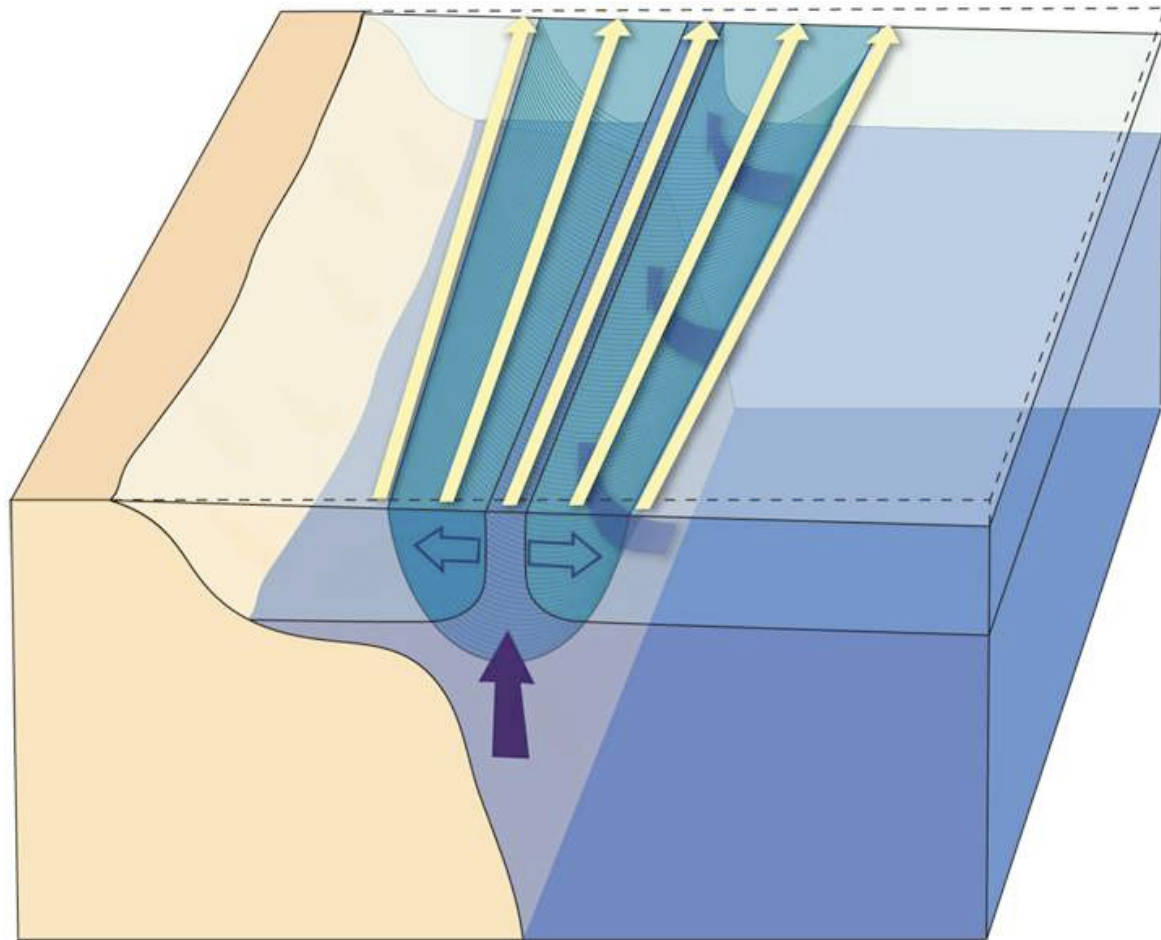
Miller et al., 2010, J. Fluid Mech.

- Rotor del viento

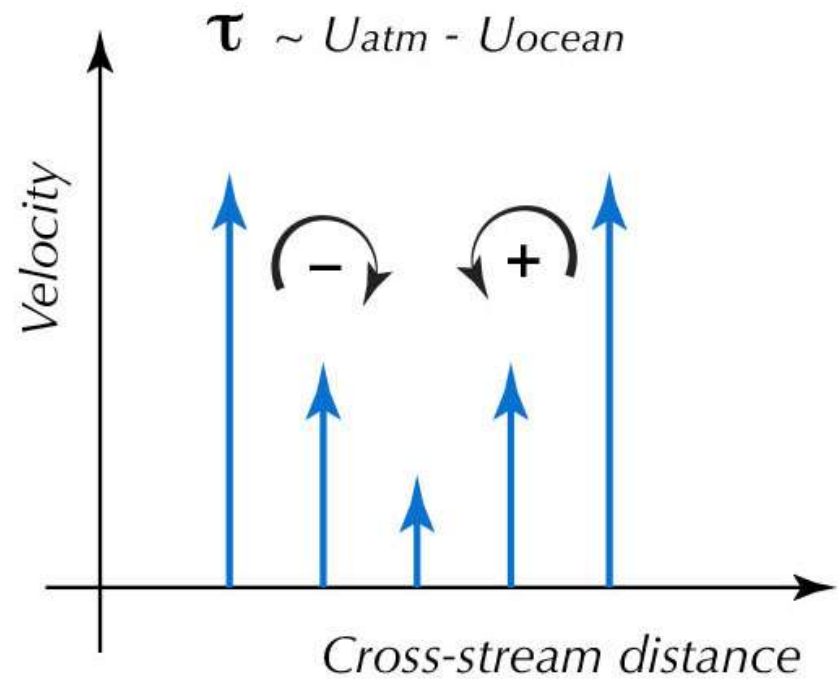
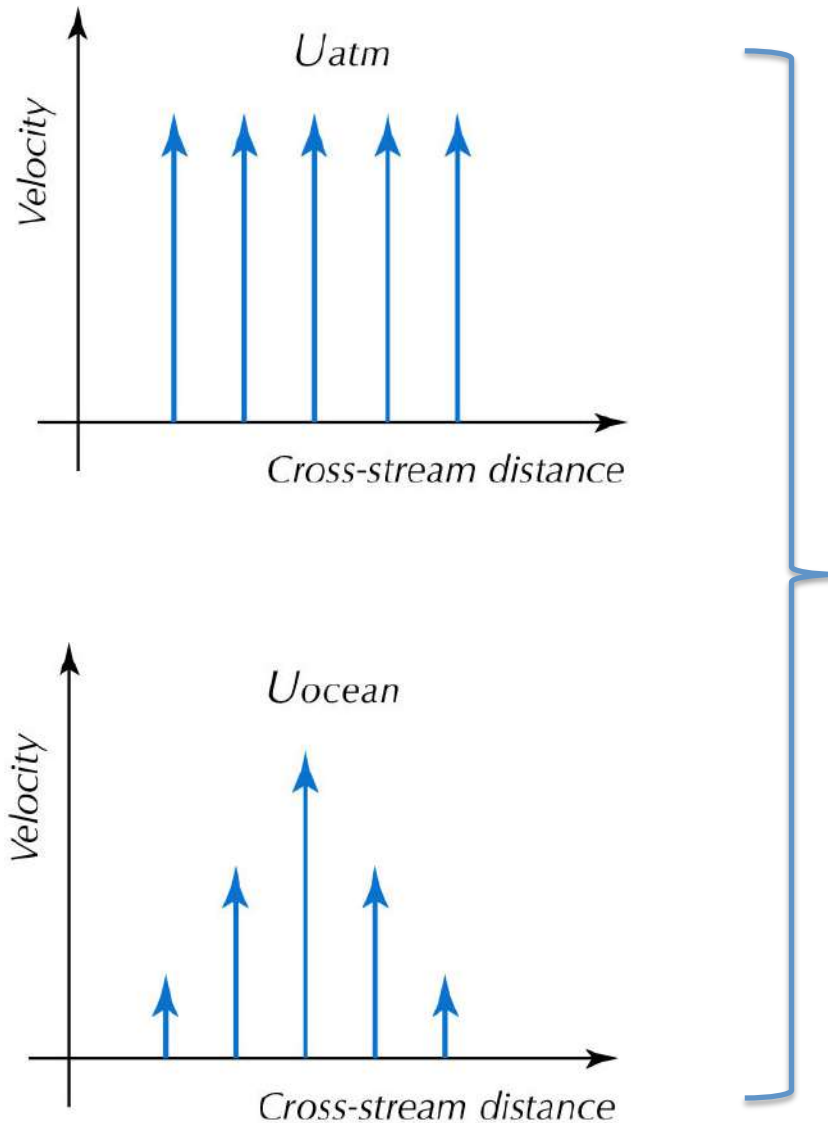
Saraceno et al., 2005, J. Geophys. Res.

Carranza et al., 2015, J. Geophys. Res.

Surgencia por fricción de fondo

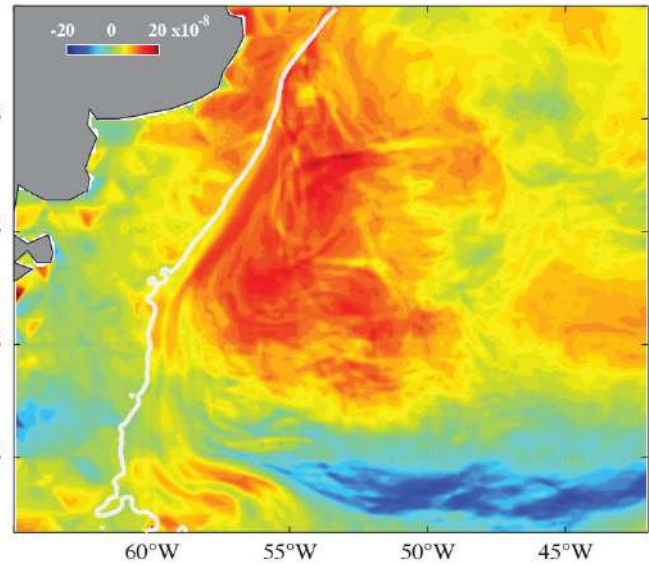


Rotor del viento

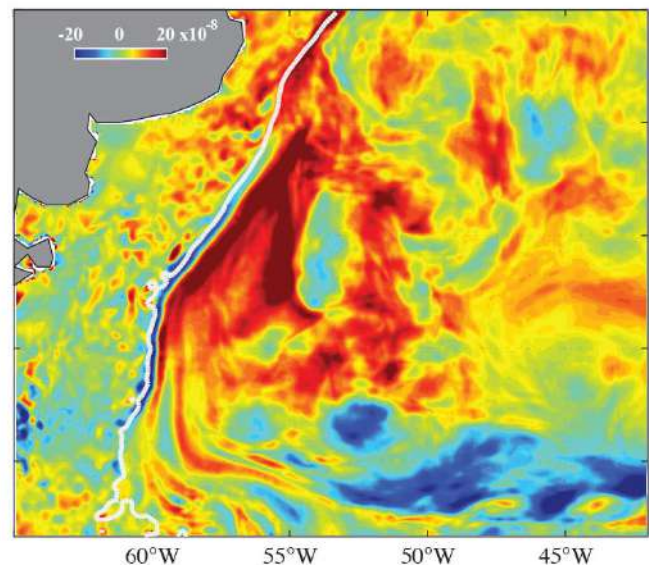


Surgencia de talud: evaluación de mecanismos

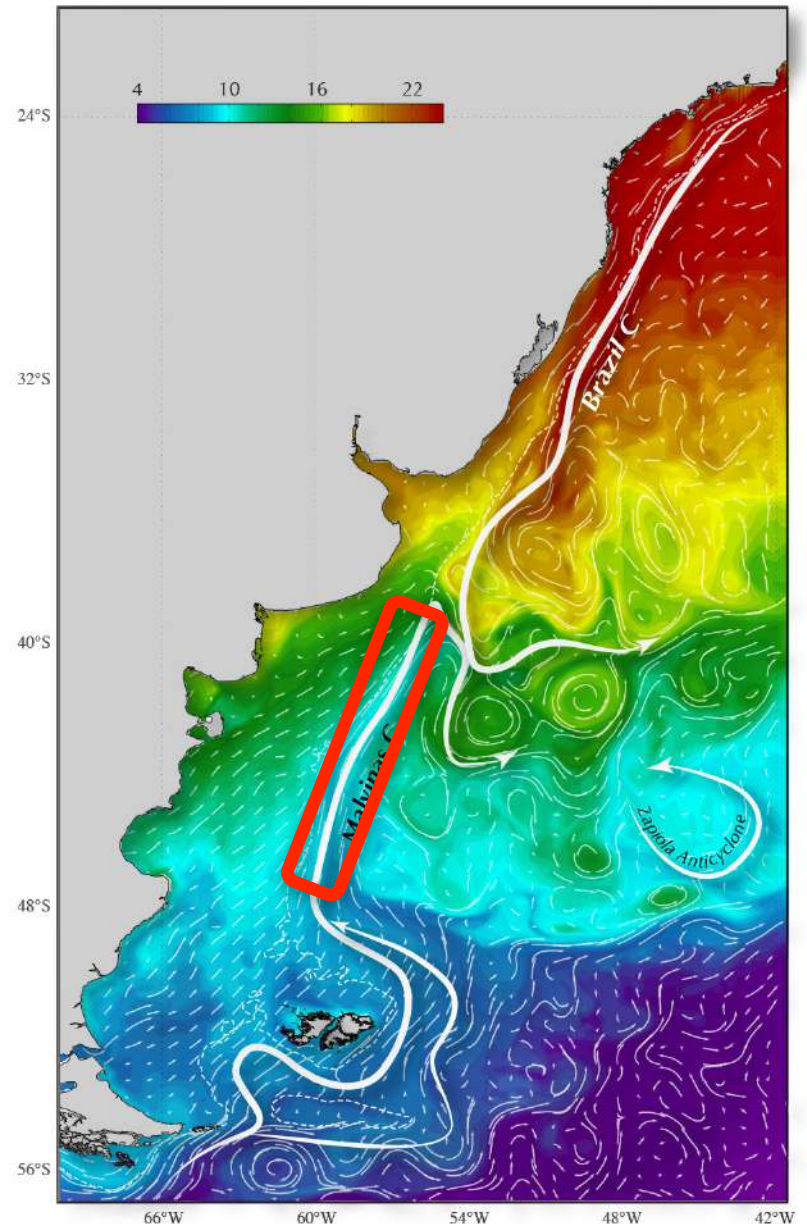
Curl (τ)



NO
Feedback



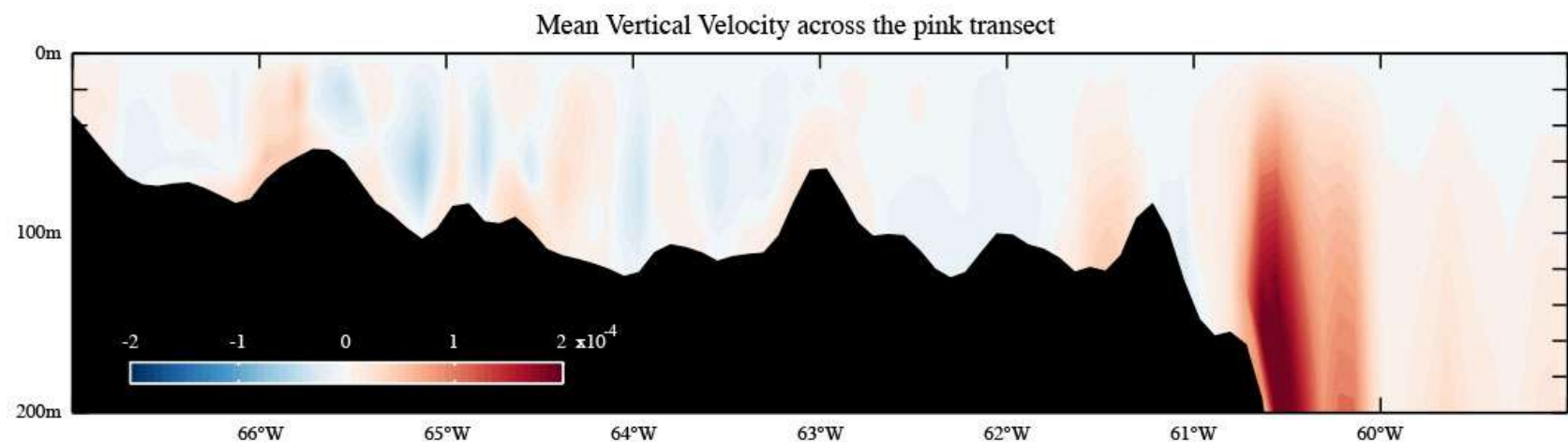
Feedback



Surgencia de talud: evaluación de mecanismos

Frictional Effects $\longrightarrow W \sim O[10 \text{ m/day}]$

Wind Stress Curl $\longrightarrow W \sim O[10 \text{ cm/day}]$



Surgencia de talud: evaluación de mecanismos

Correlation between
 W and MC Transp.

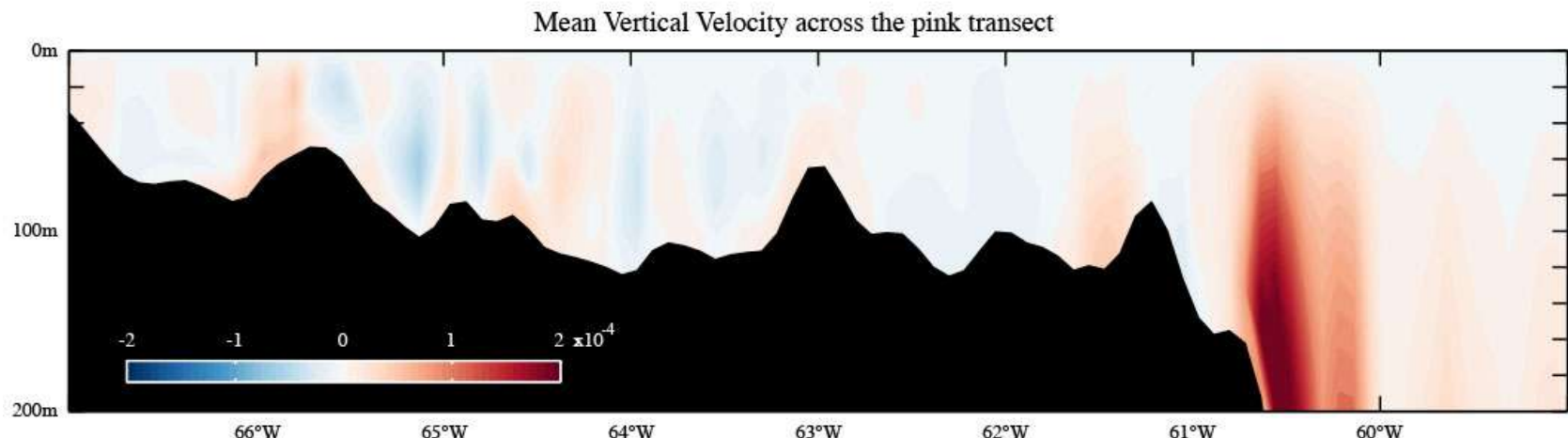
$R = 0.36$ for unfiltered data

$R = 0.68$ for $T > 1$ month

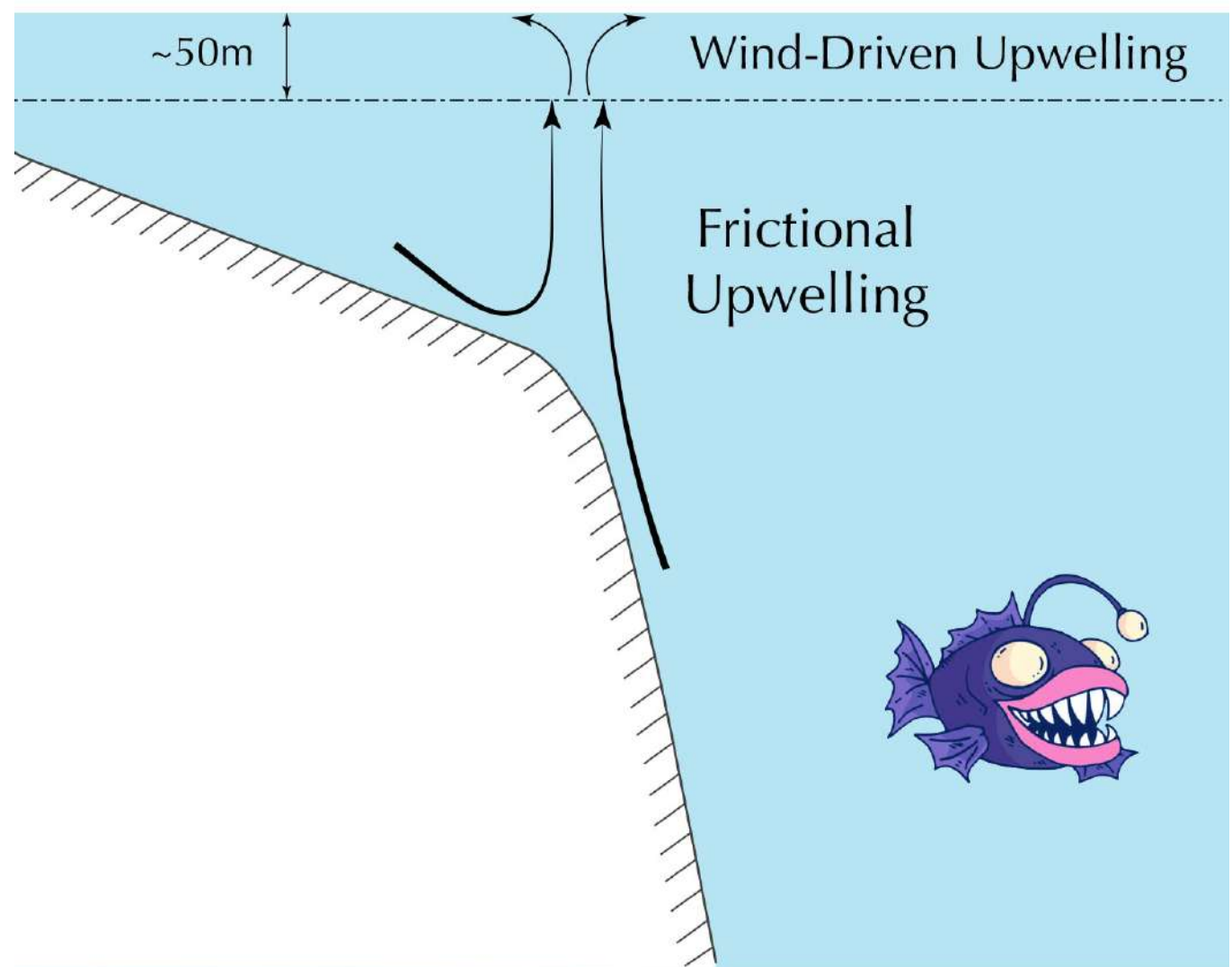
Correlation between
 W and $\text{Curl}(\tau)$

$R = 0.63$ for unfiltered data

$R = 0.33$ for $T > 3$ month

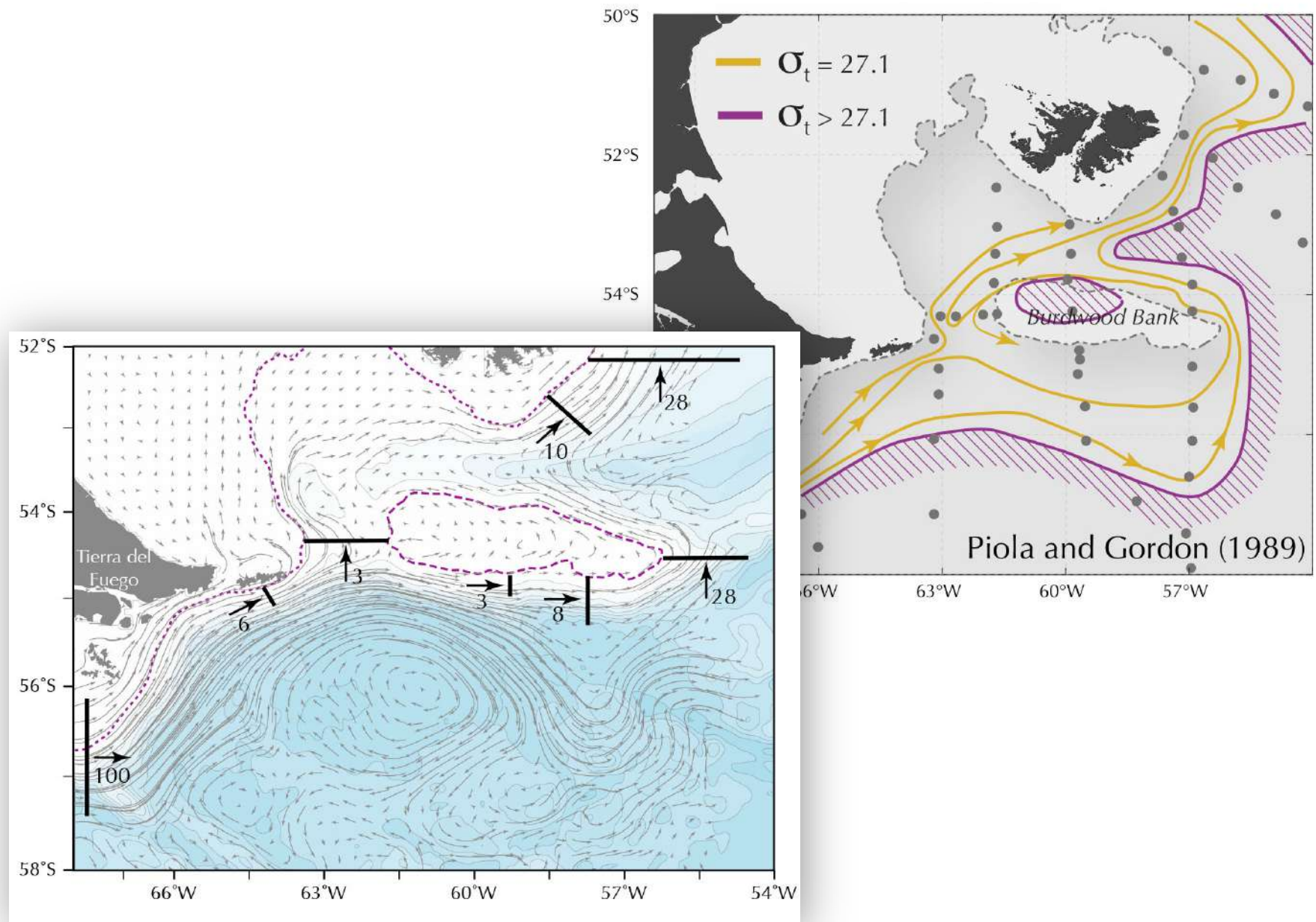


Surgencia de talud: resumen

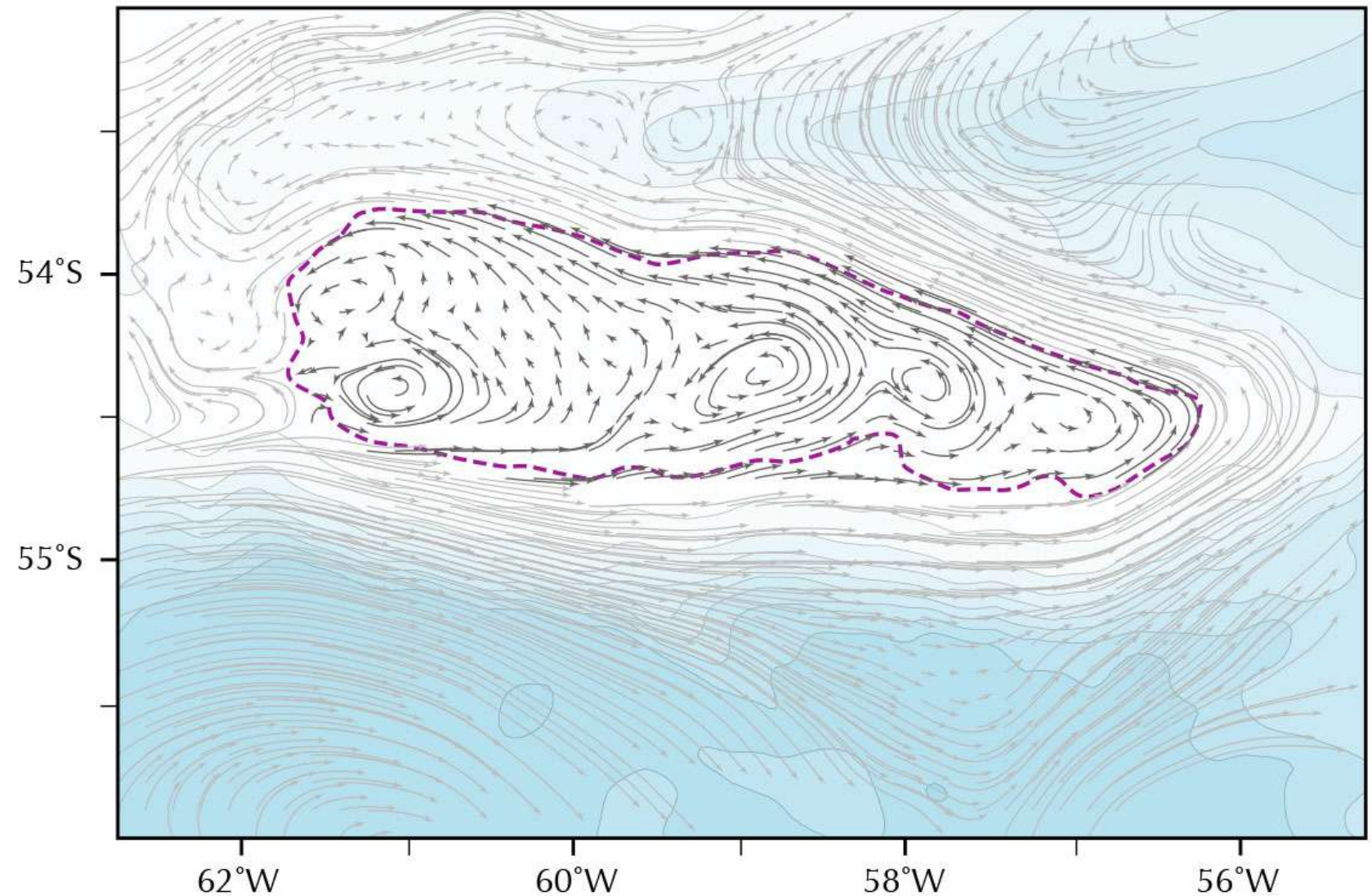


Banco Namuncurá

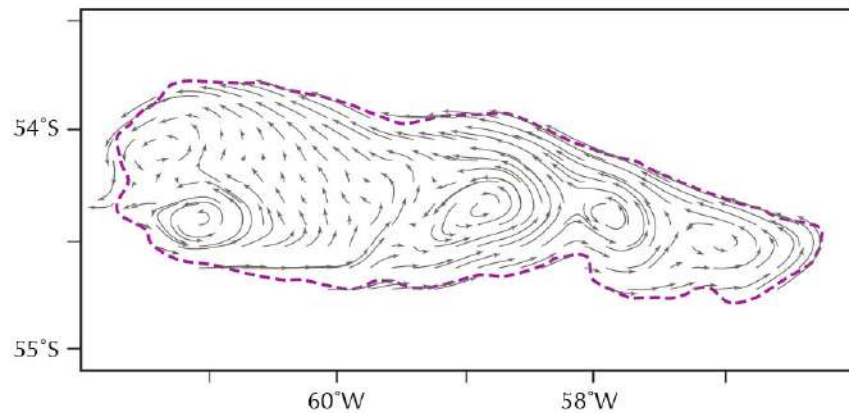
Observations



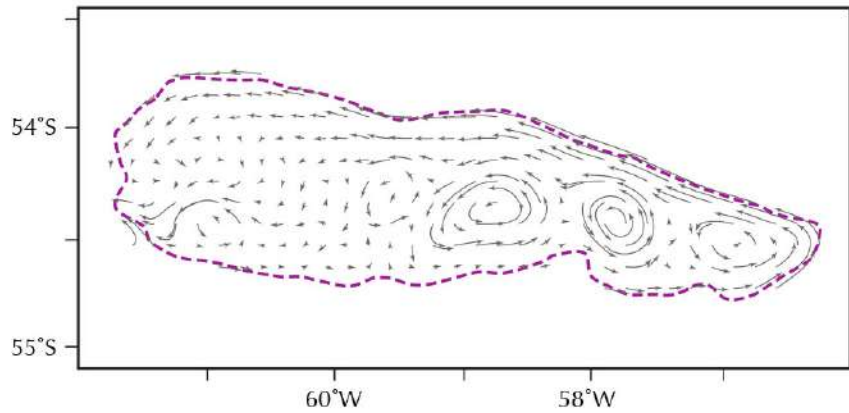
Depth-averaged velocities



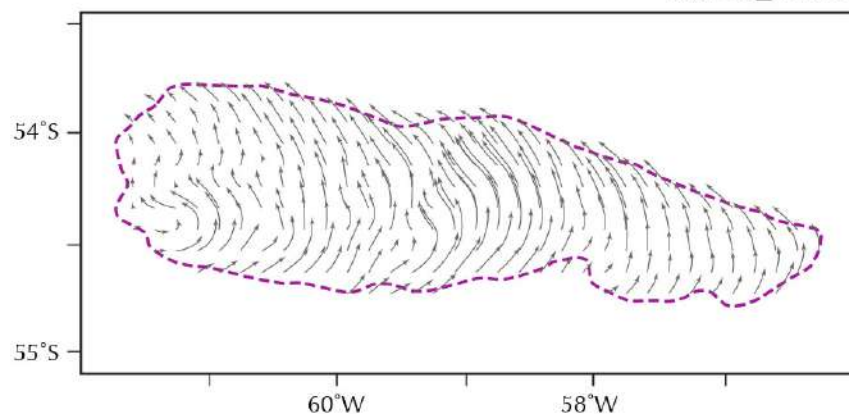
BENCH



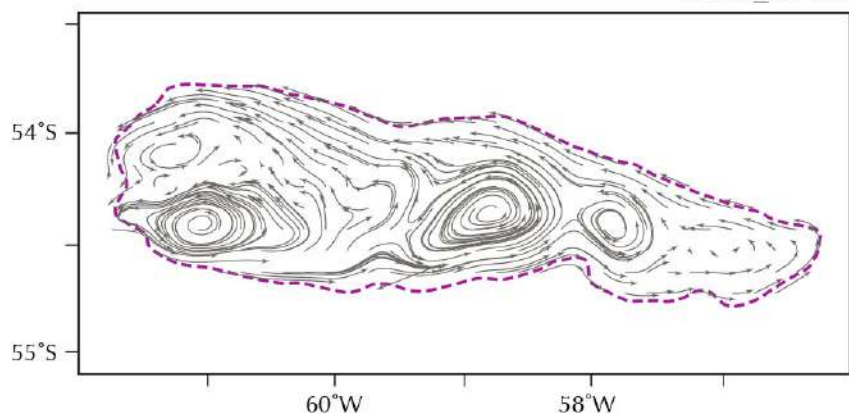
ACC_ONLY



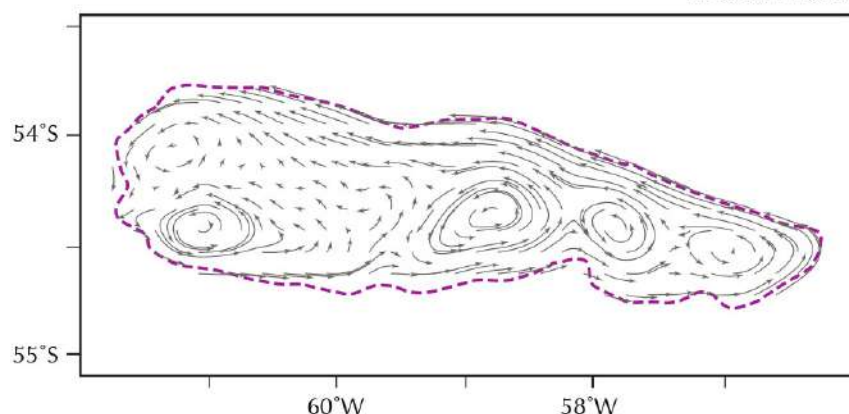
WIND_ONLY



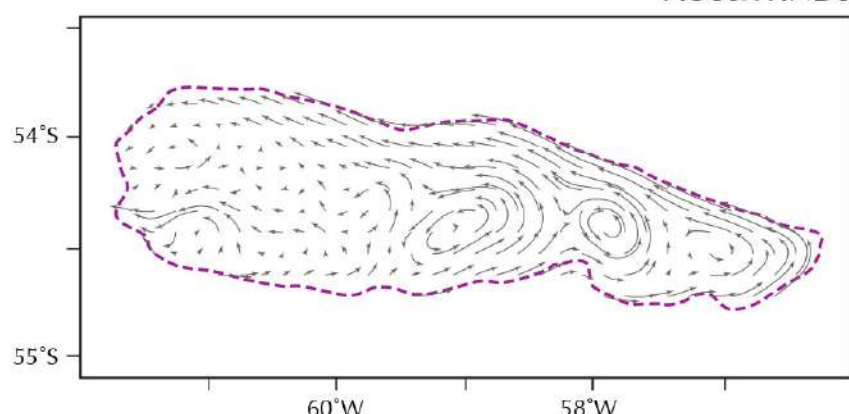
TIDES_ONLY



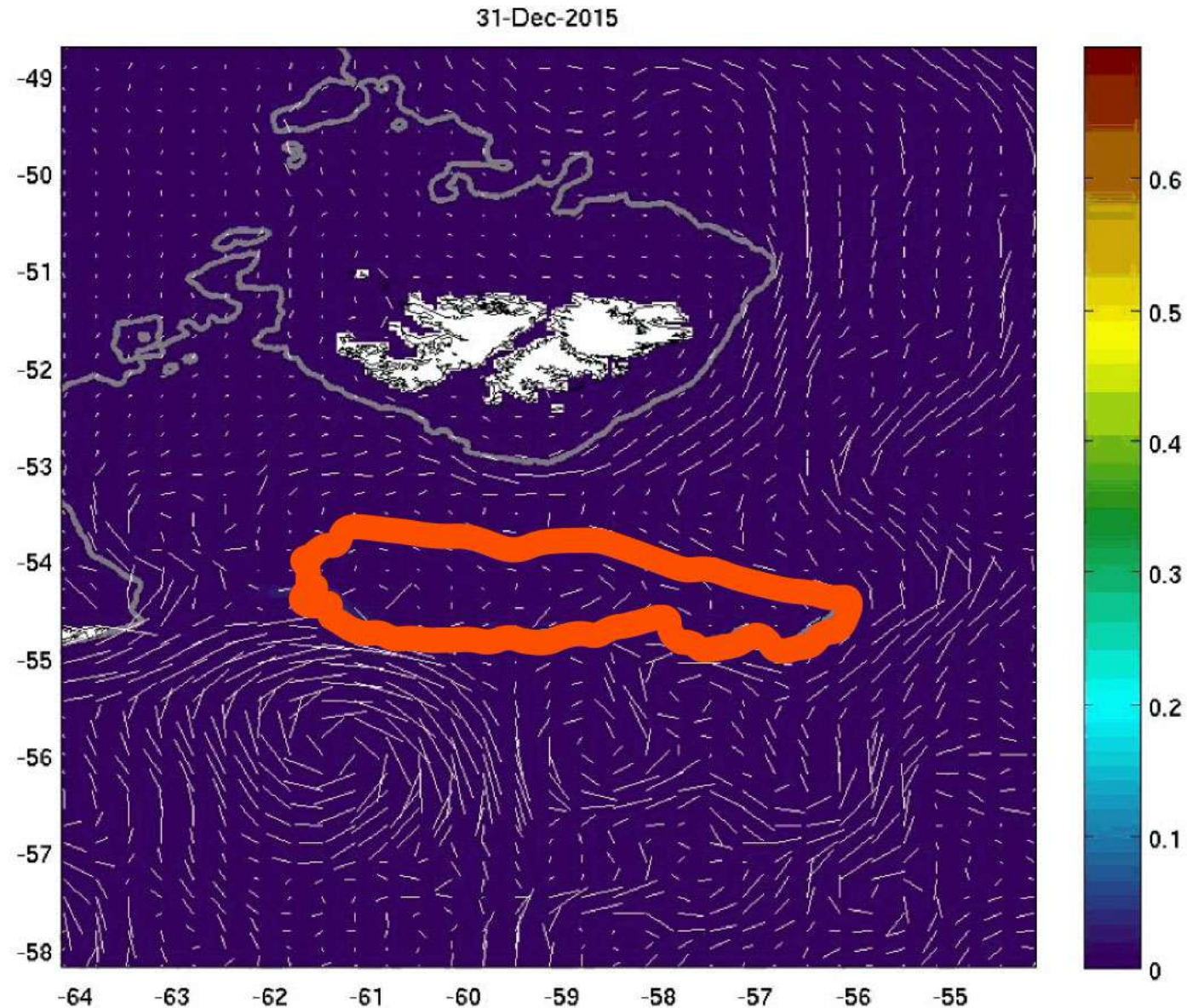
ACC&TIDES



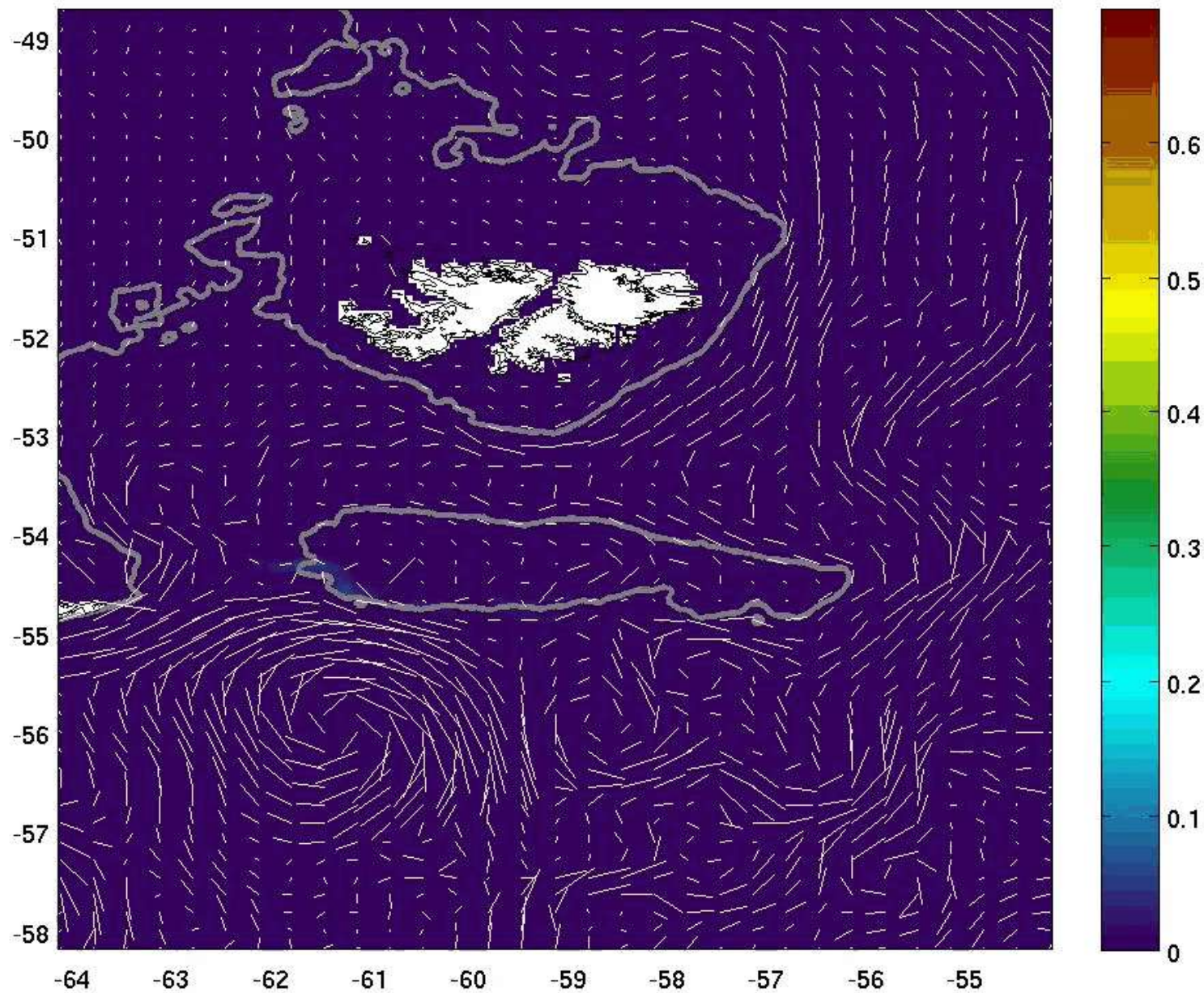
ACC&WINDS



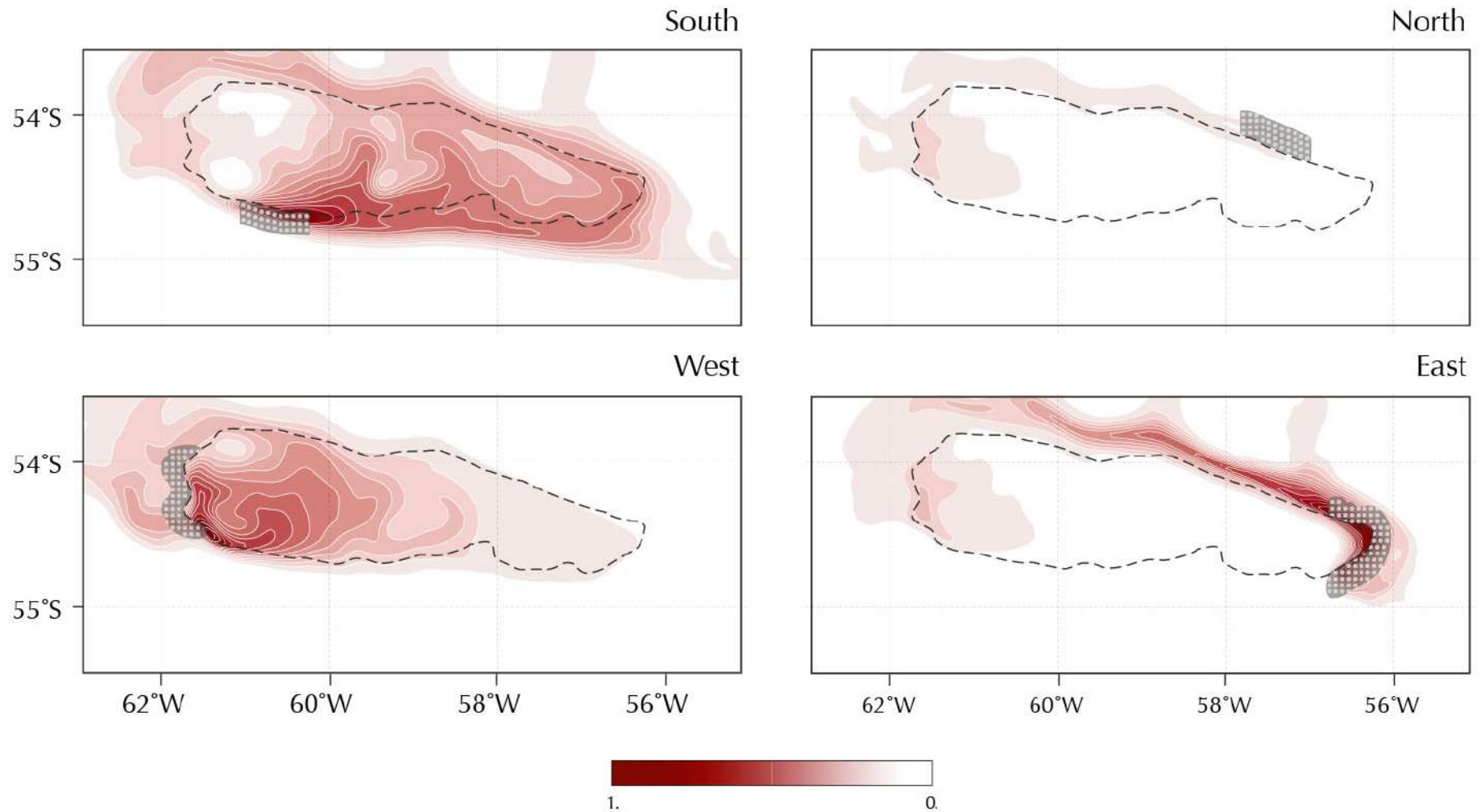
Trazadores injectados a profundidades mayores de 200m
[200m < z < 500m]



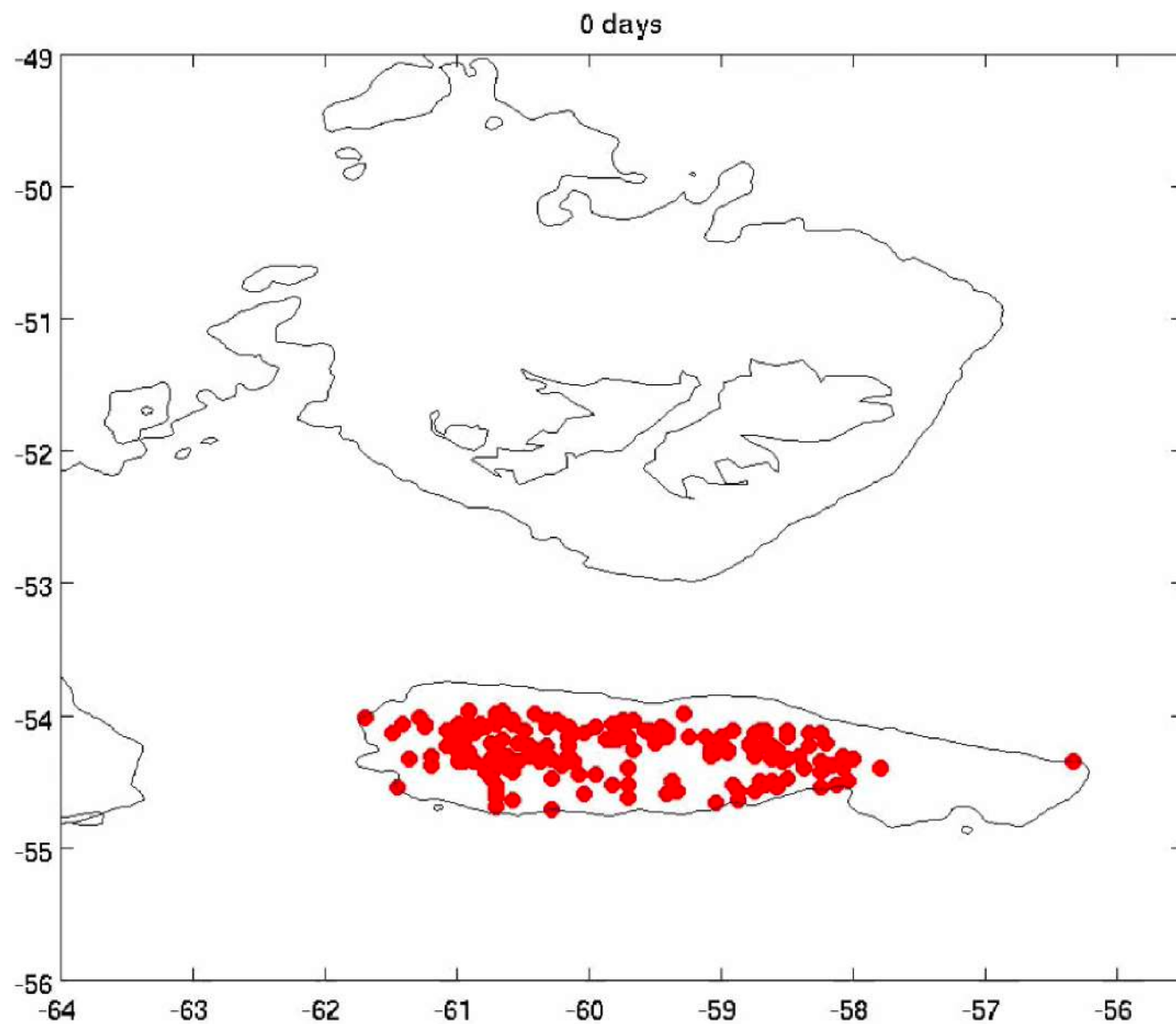
31-Dec-2015

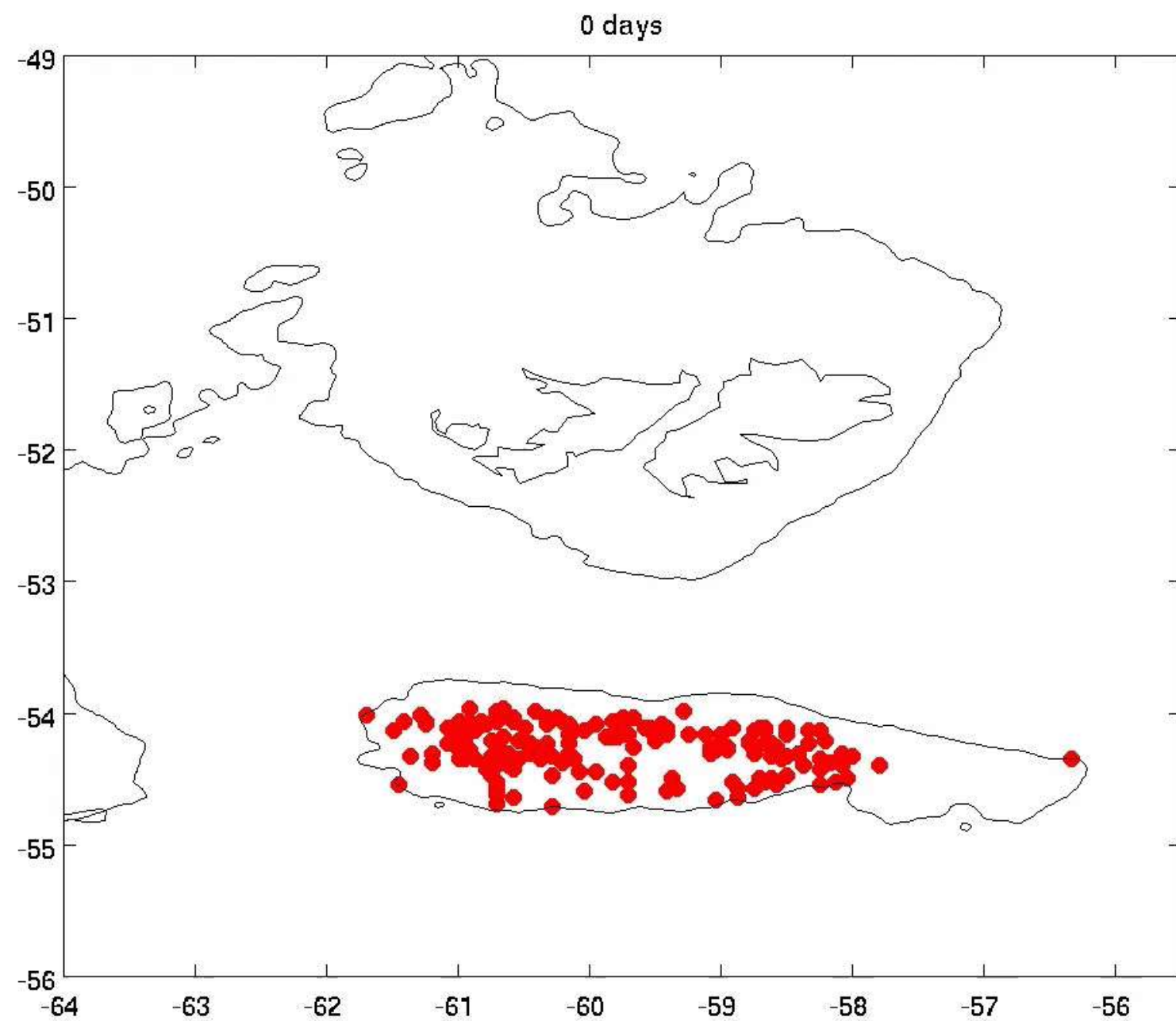


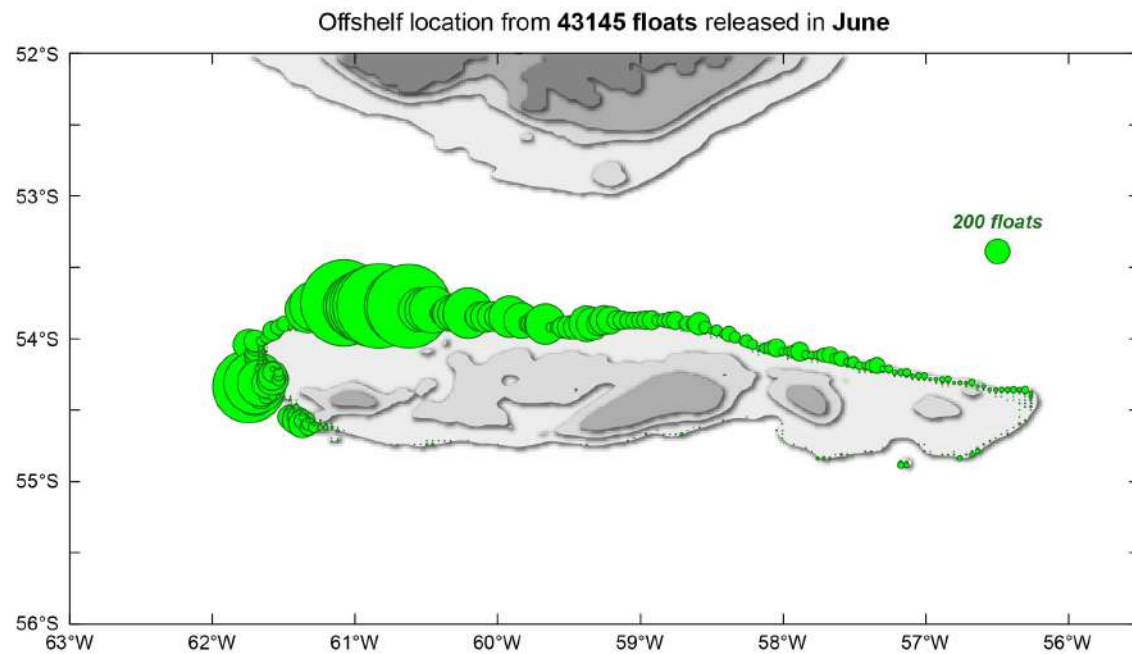
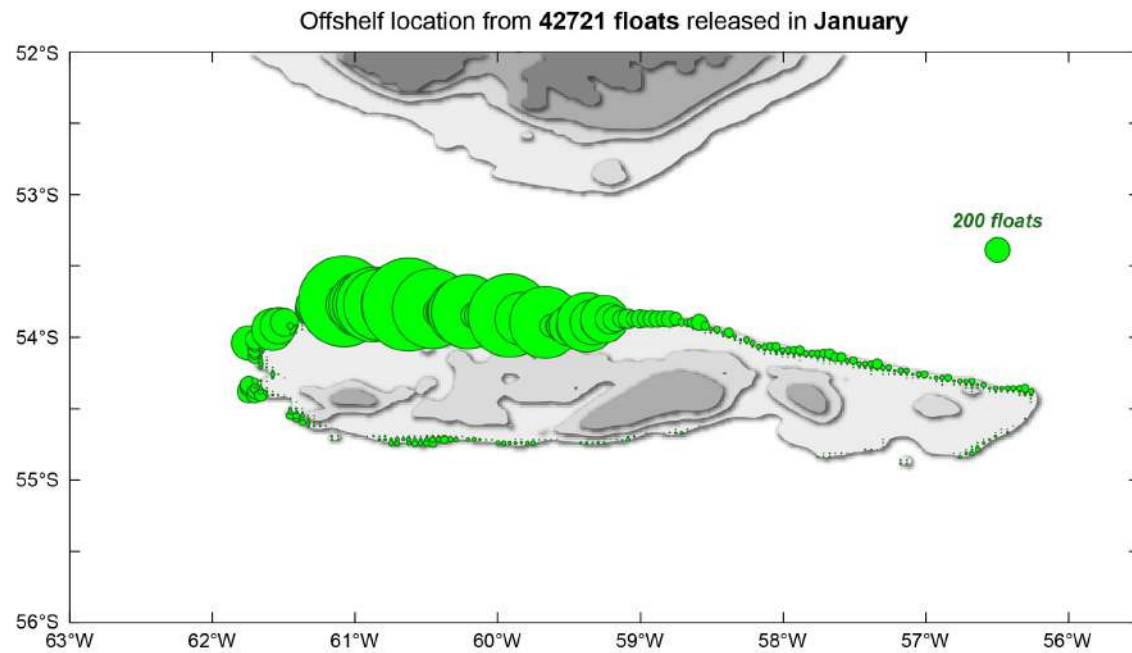
Centros de Surgencia



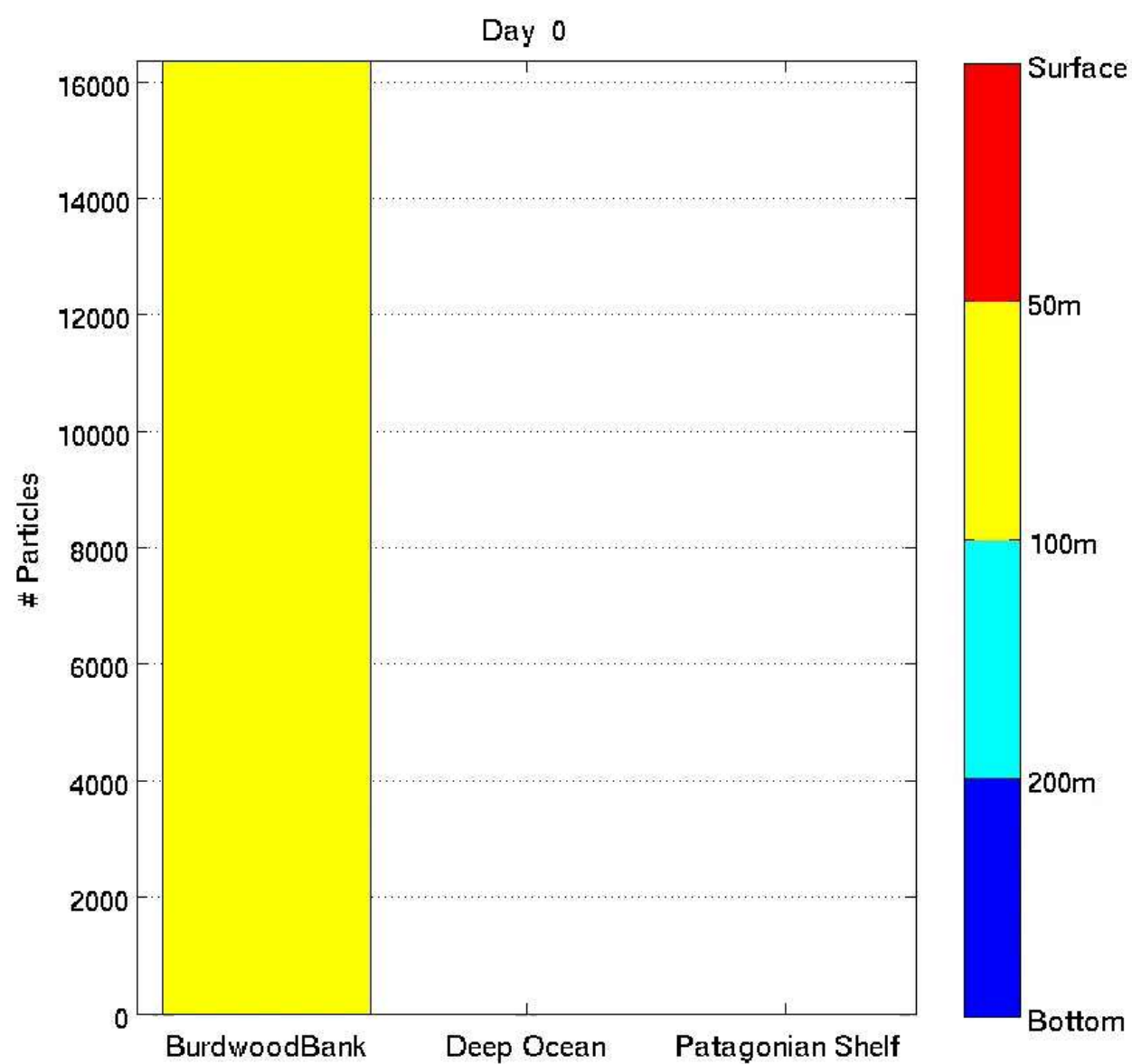
Trayectorias de Particulas

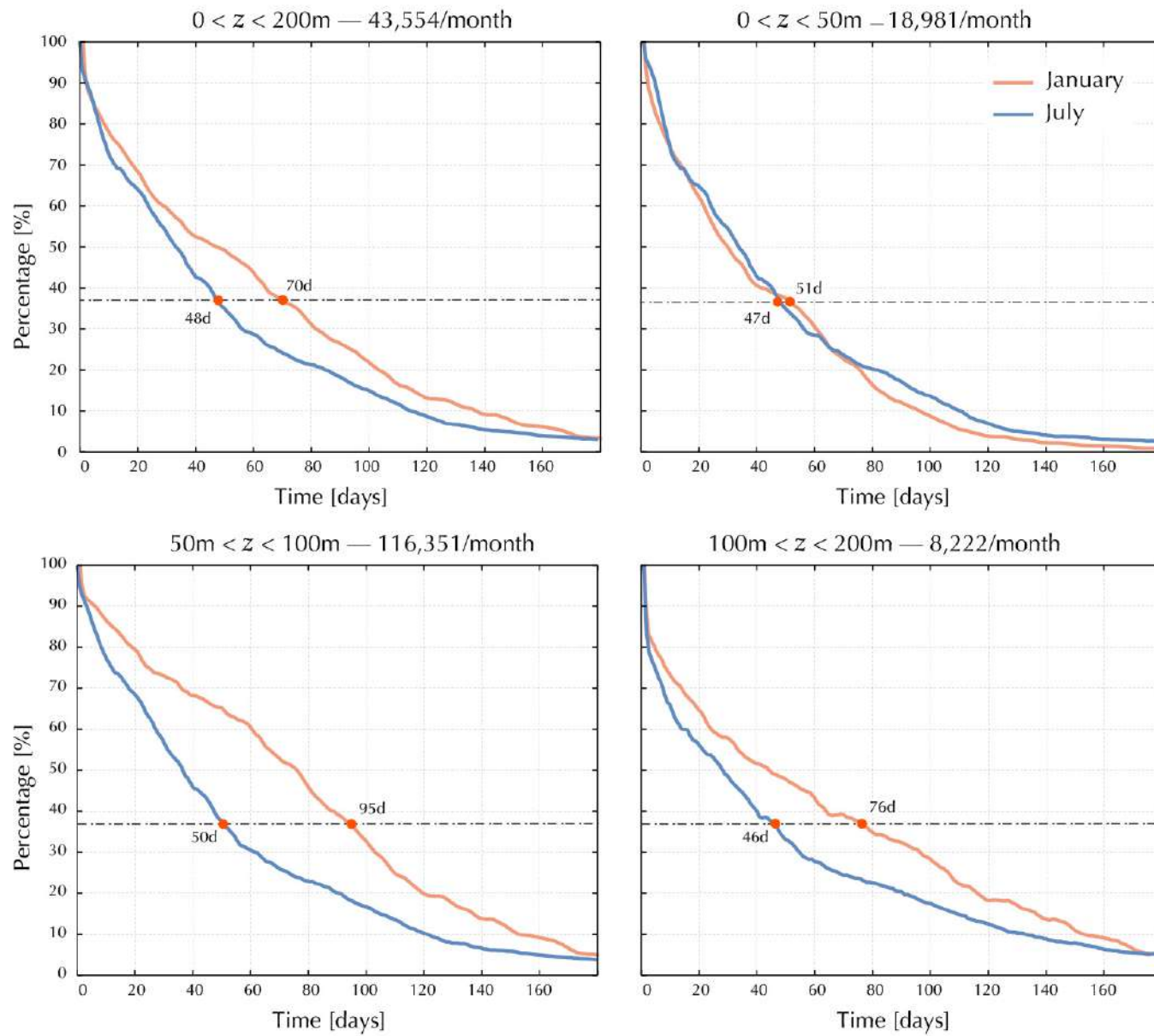




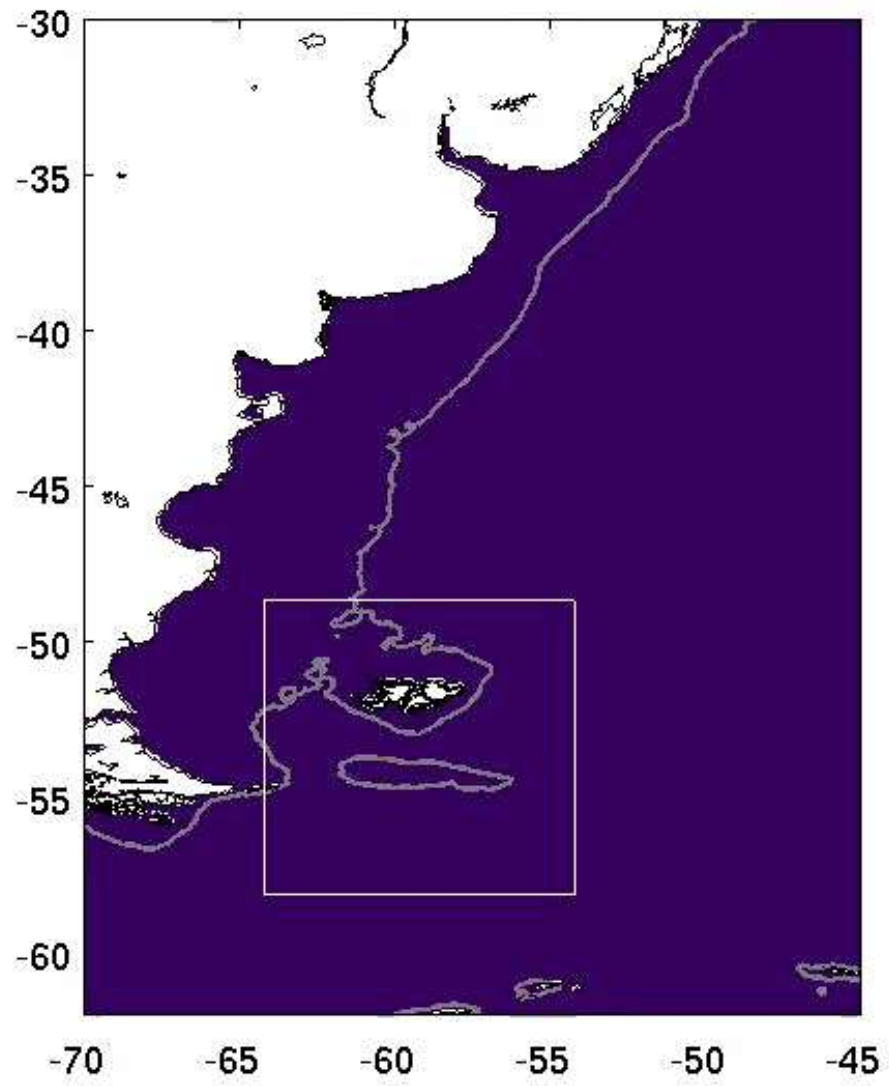


Tiempos de residencia: $50m < z < 100m$

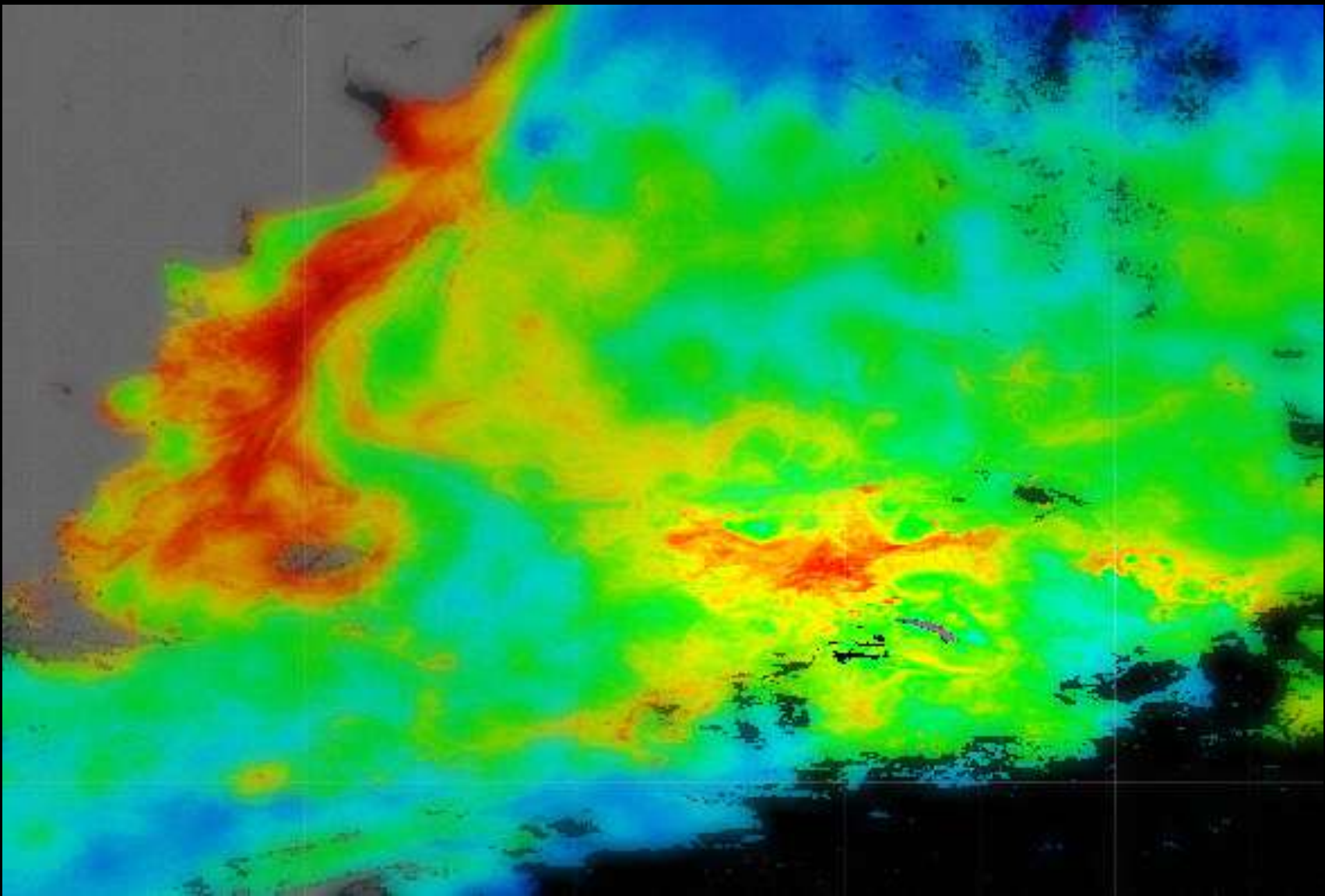




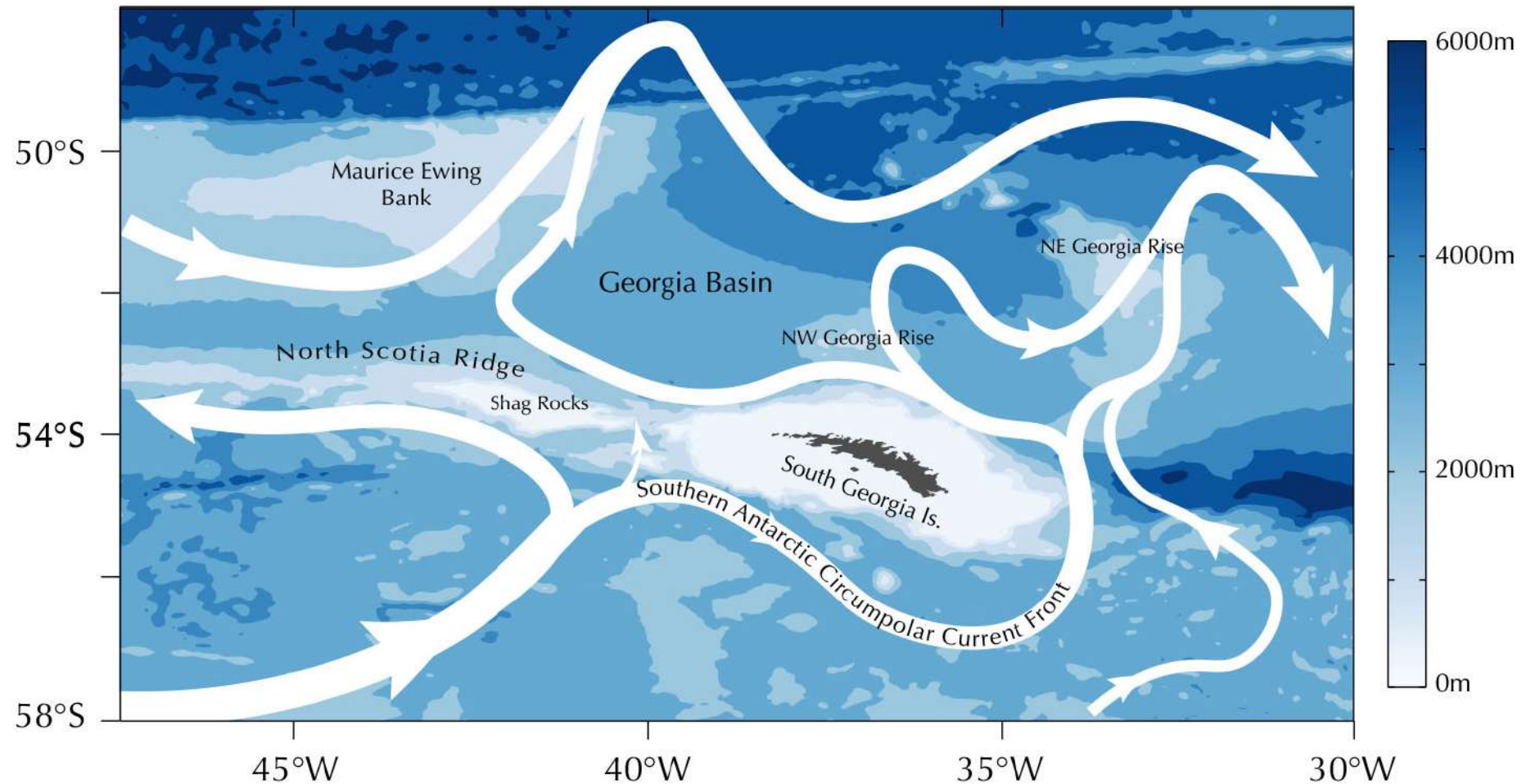
Tides 31-Dec-2015



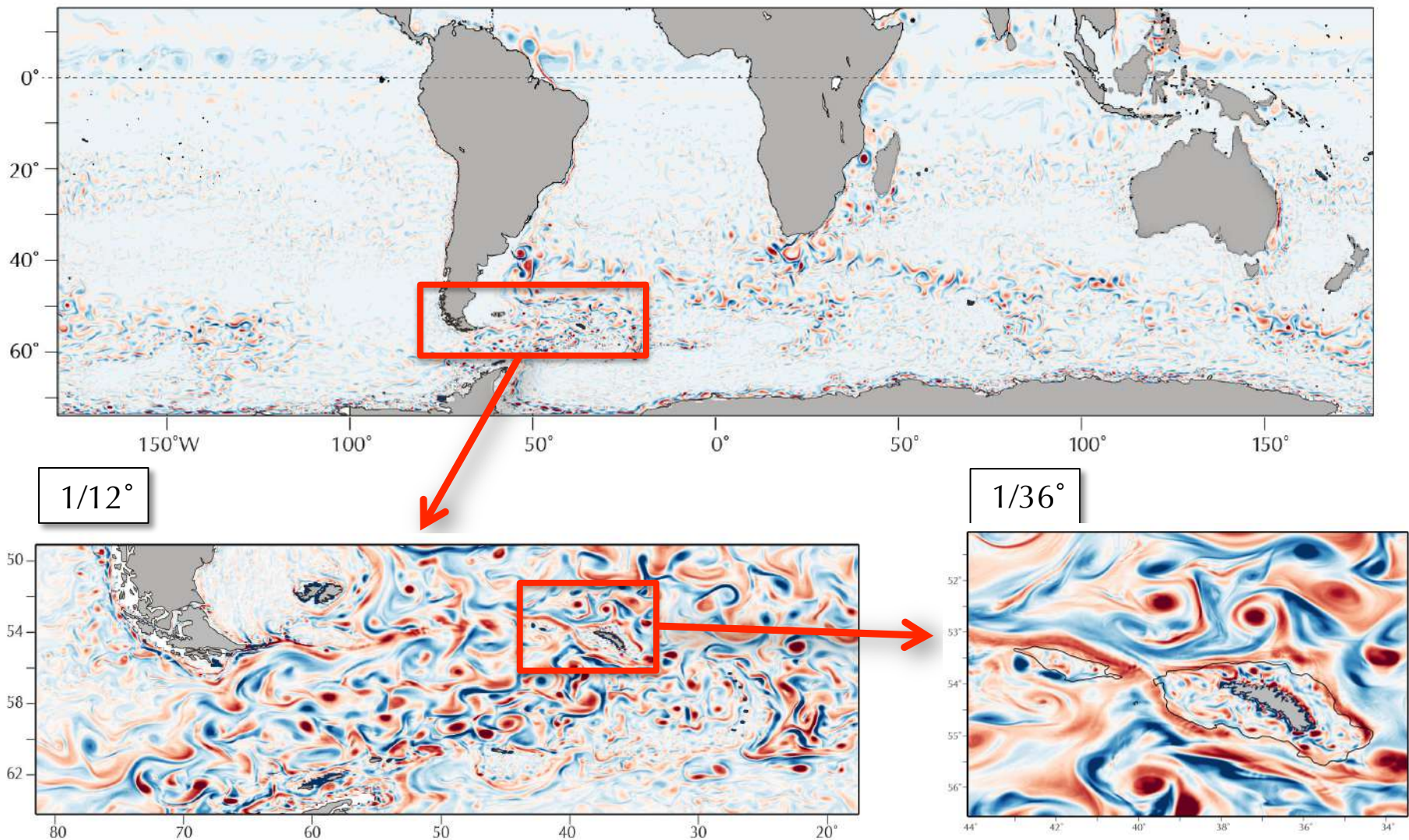
Georgia del Sur



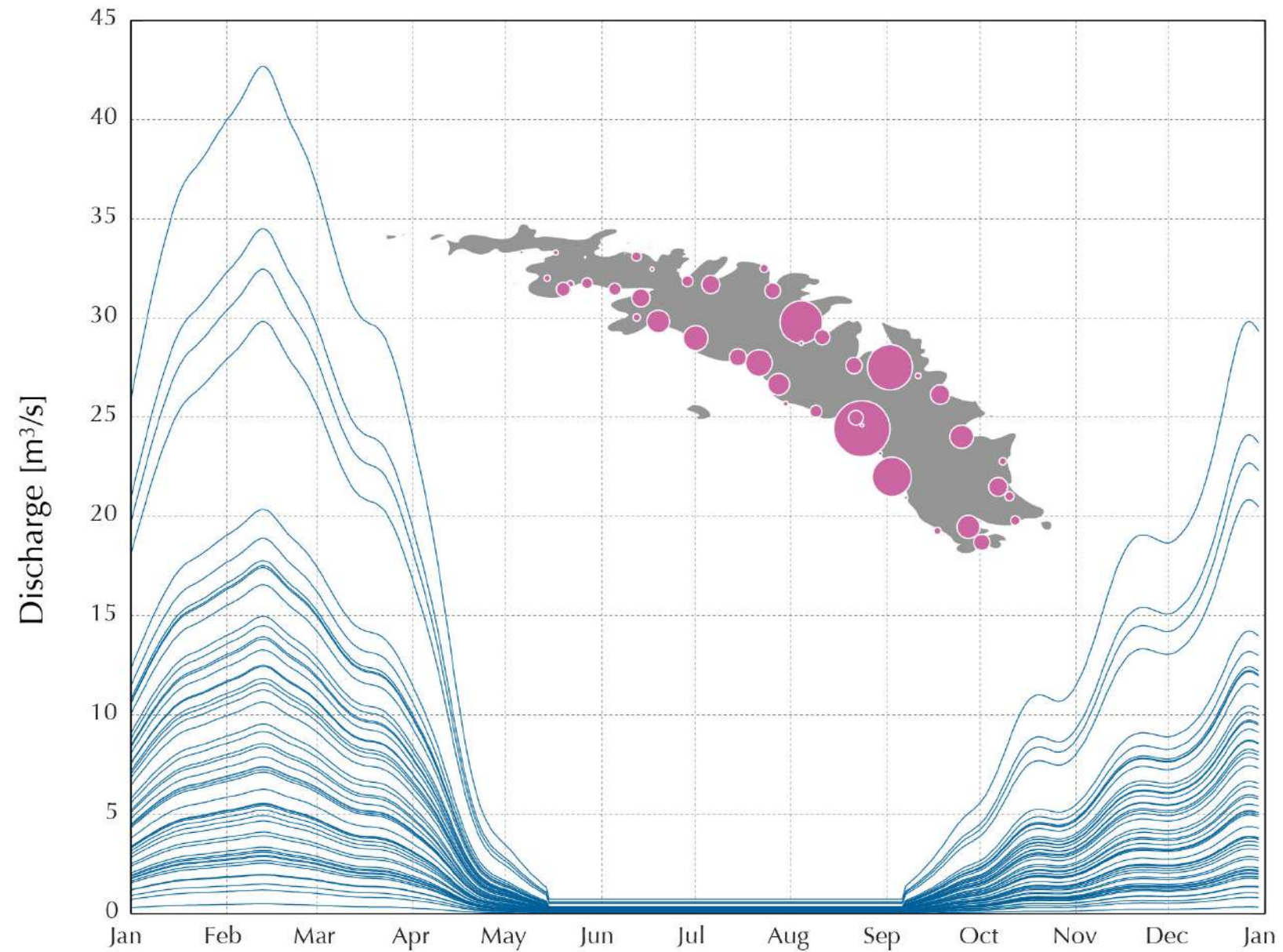
Circulación



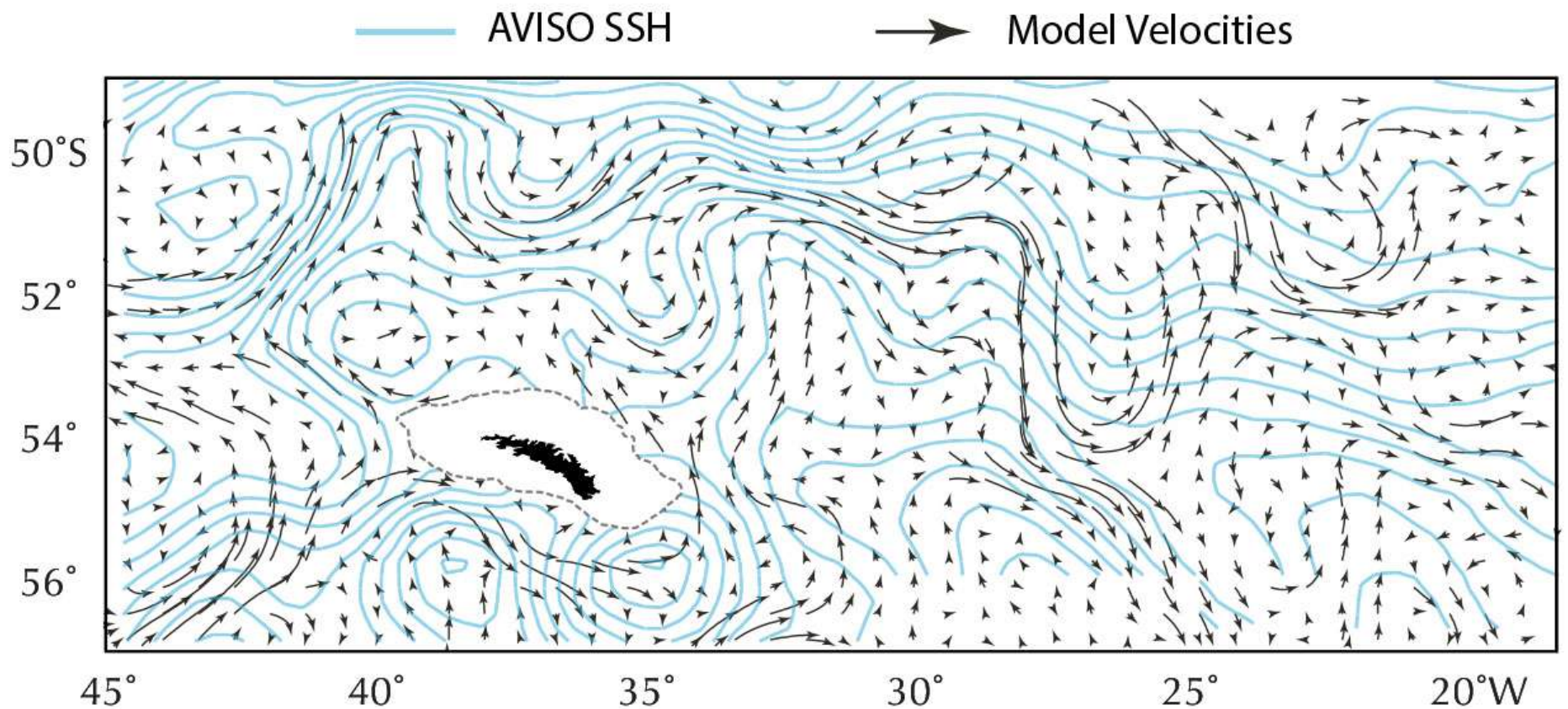
The model



Descargas de Glaciares

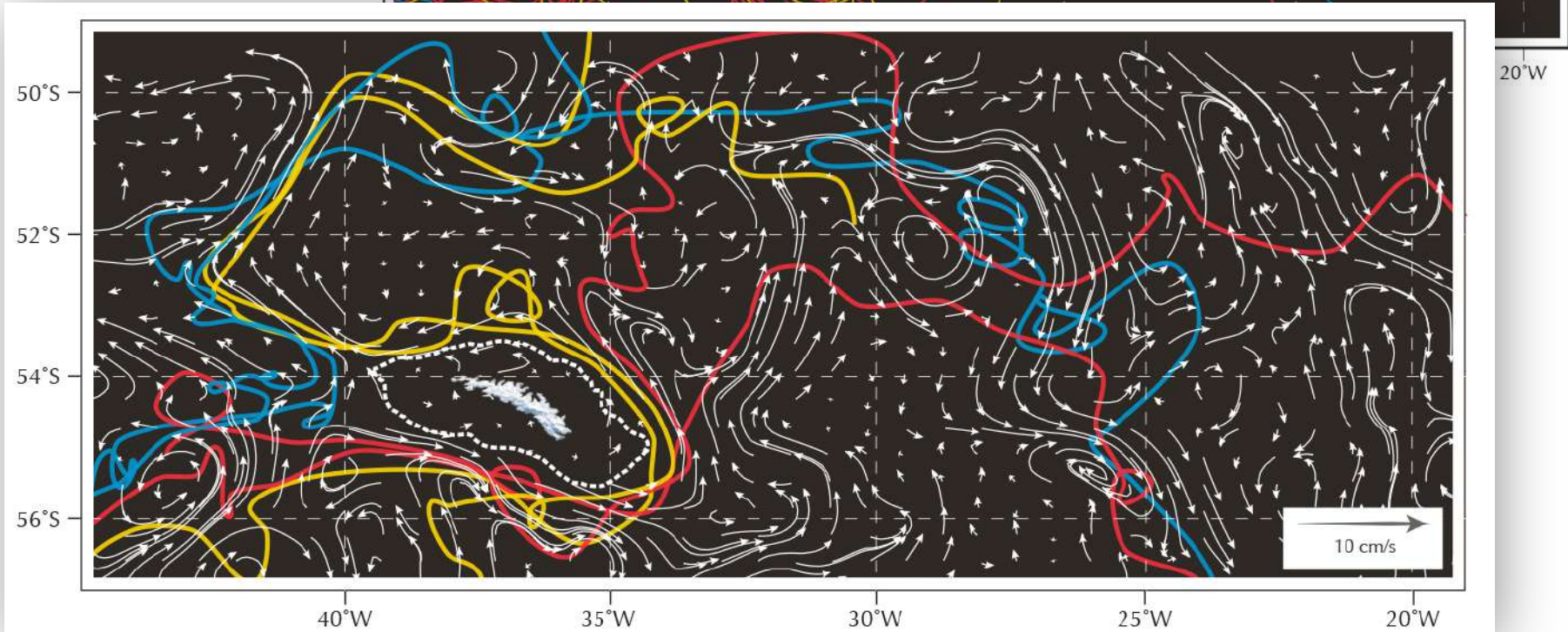
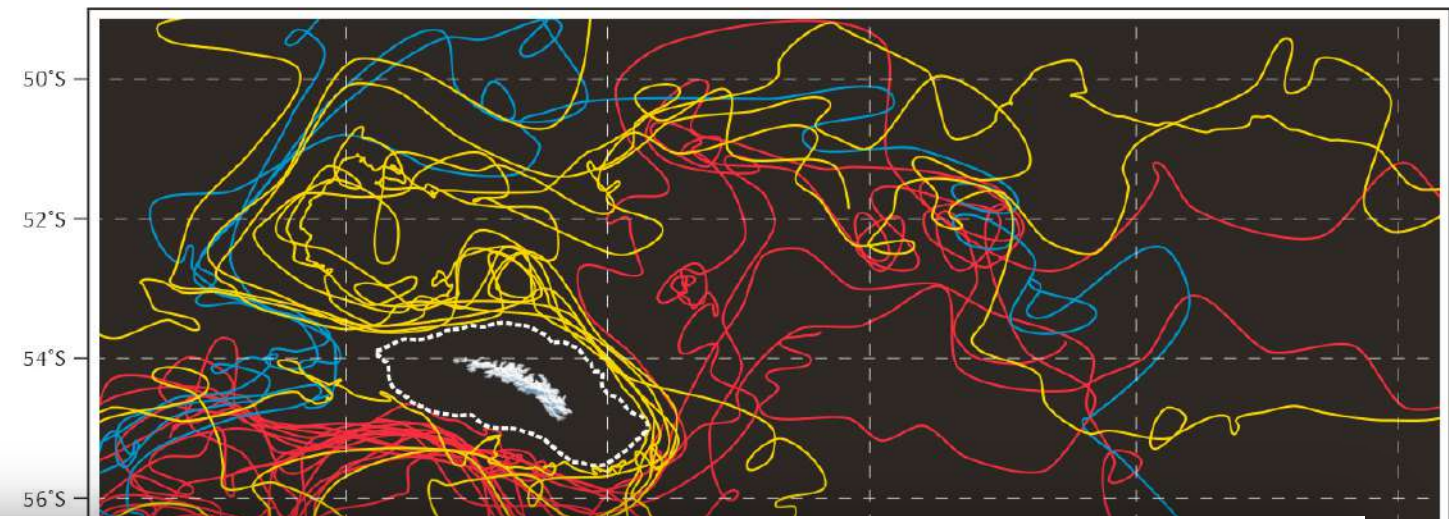


Model and Observations

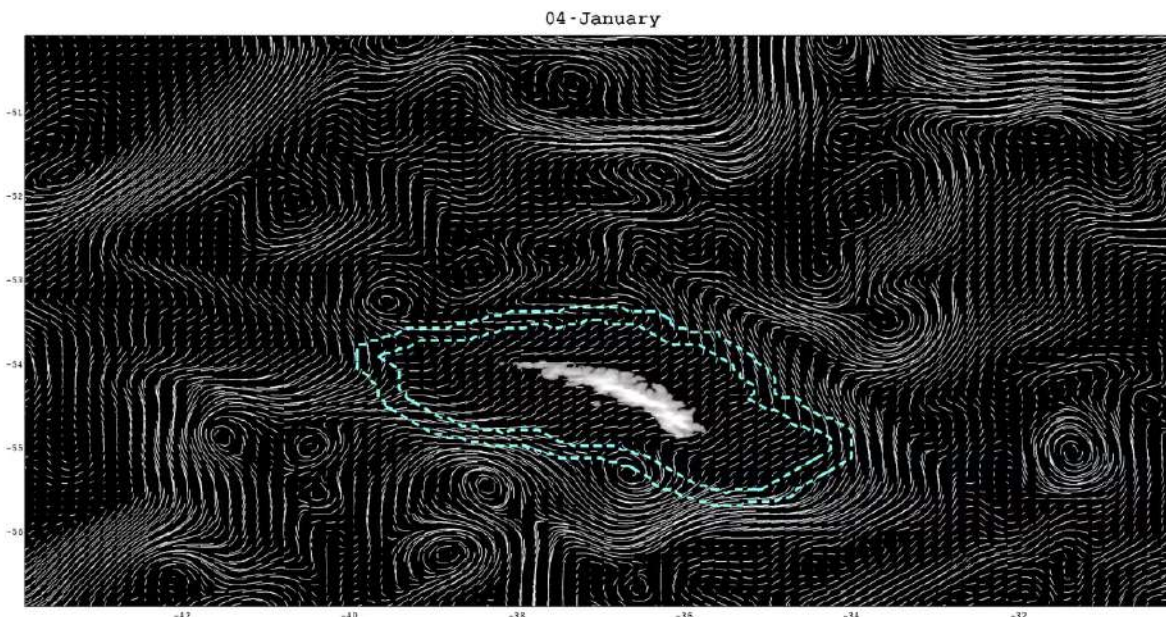
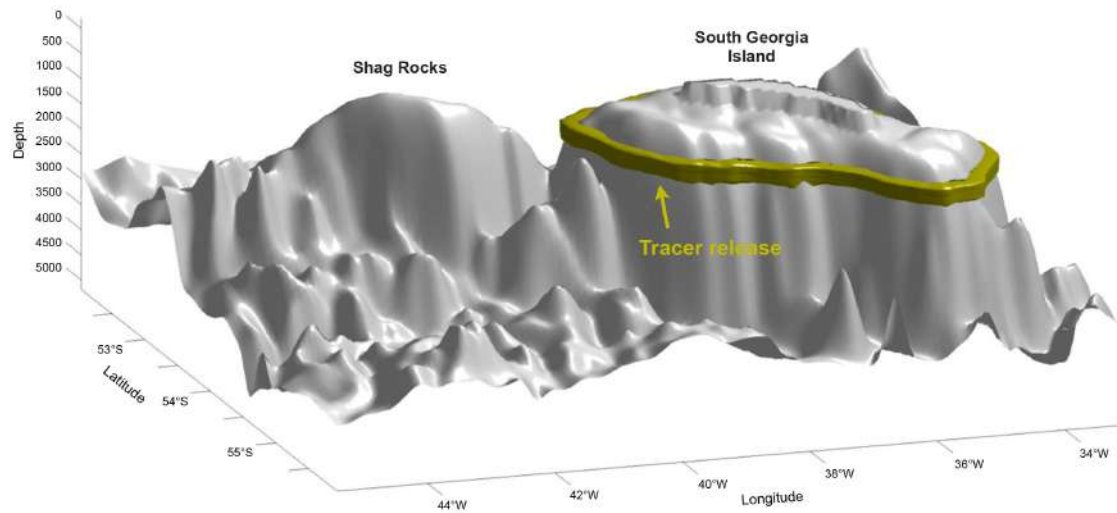


ARGO FLOATS

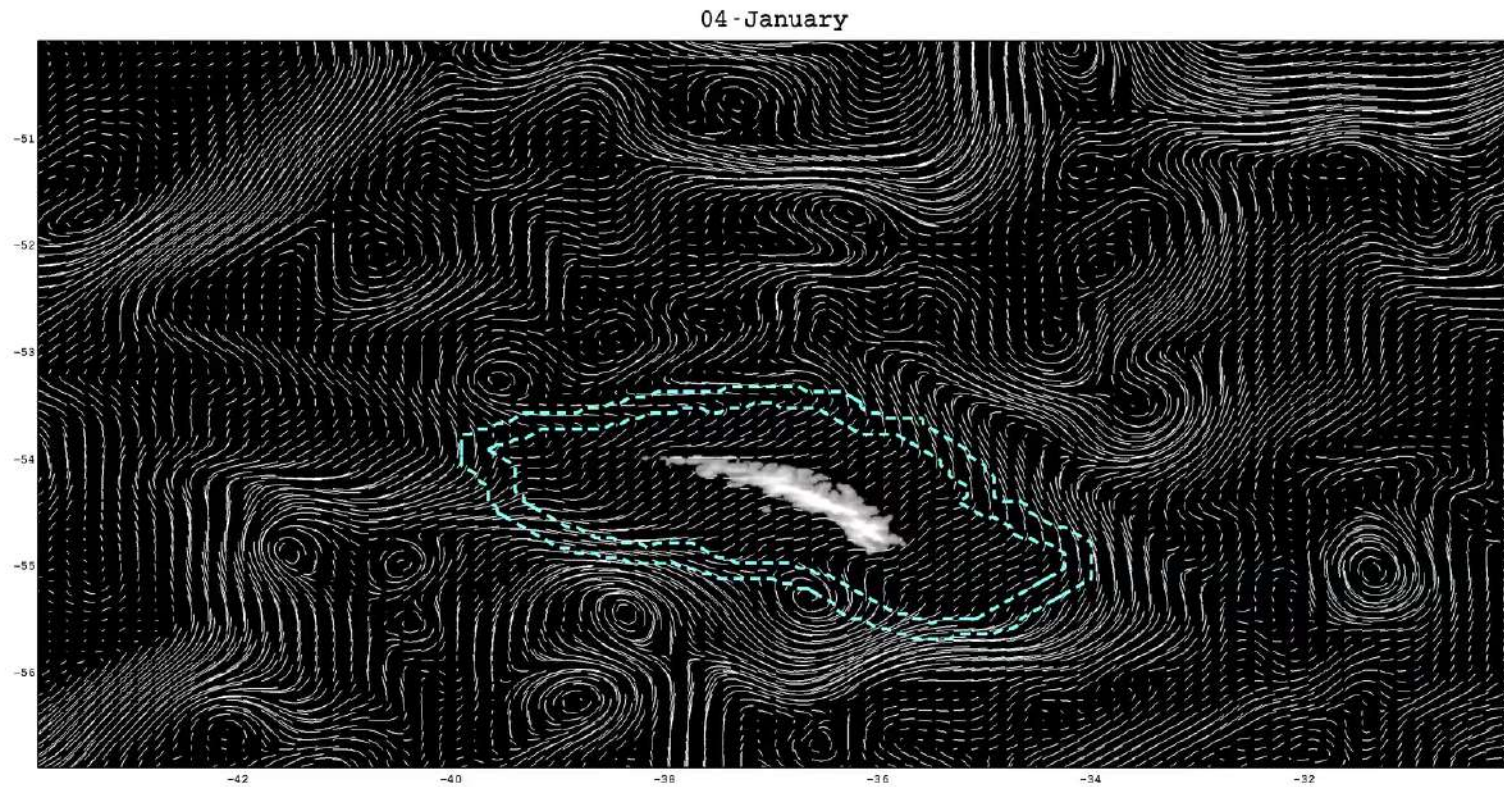
- Path I
- Path II
- Path III



South Georgia Fertilization: Tracer Experiments

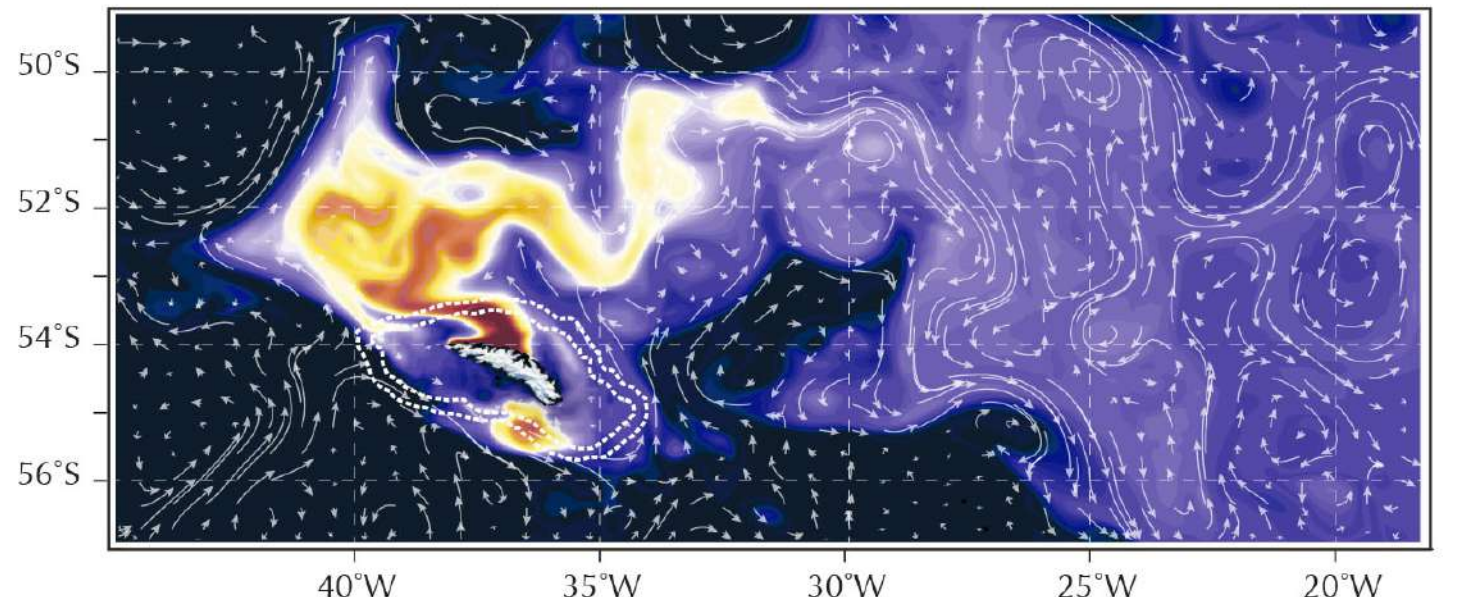


Tracer Experiments

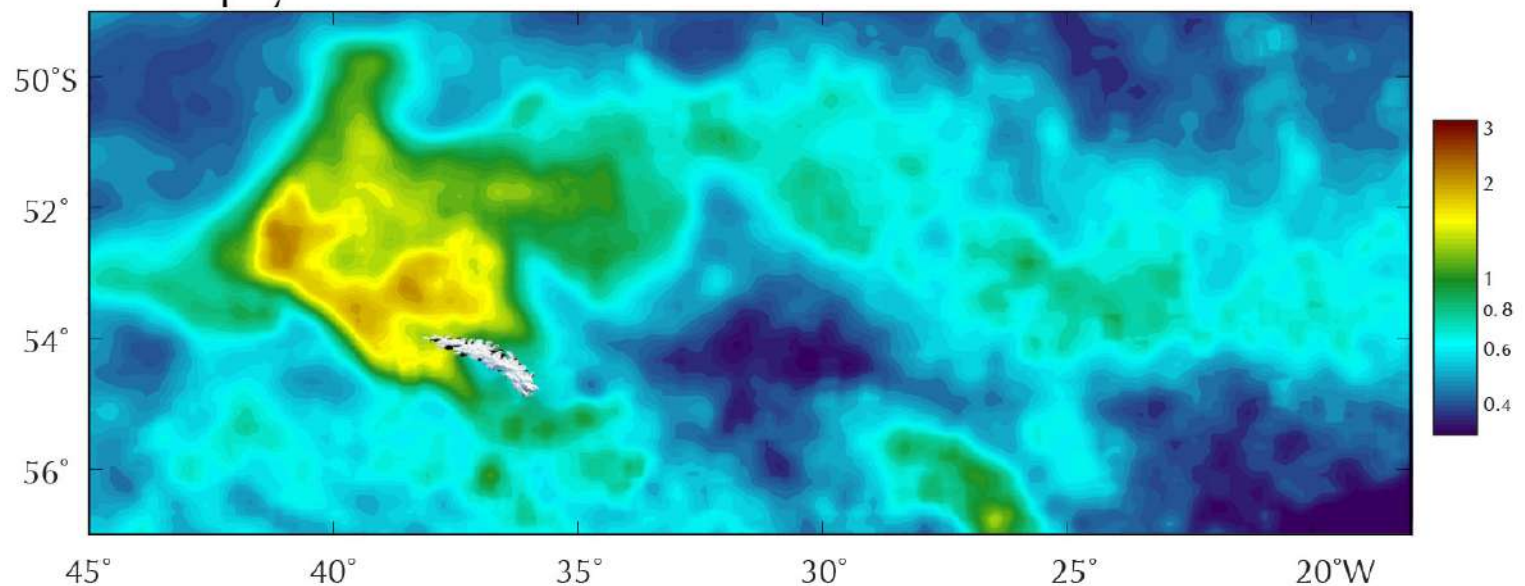


Model/Observations

Tracer: Surface Distribution

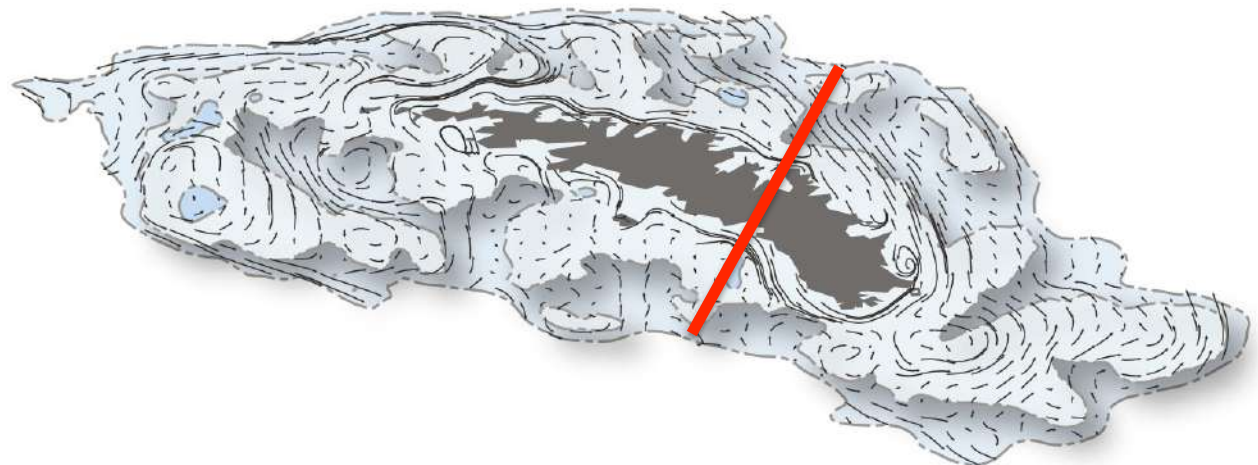


Chlorophyll-A

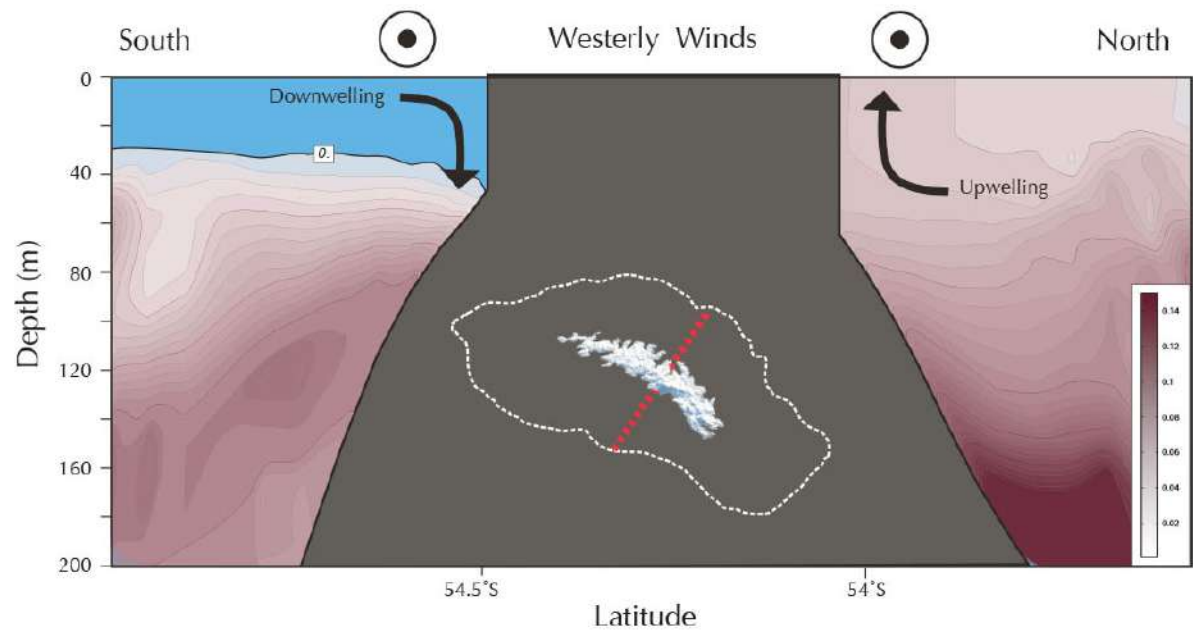


South Georgia's Shelf Circulation

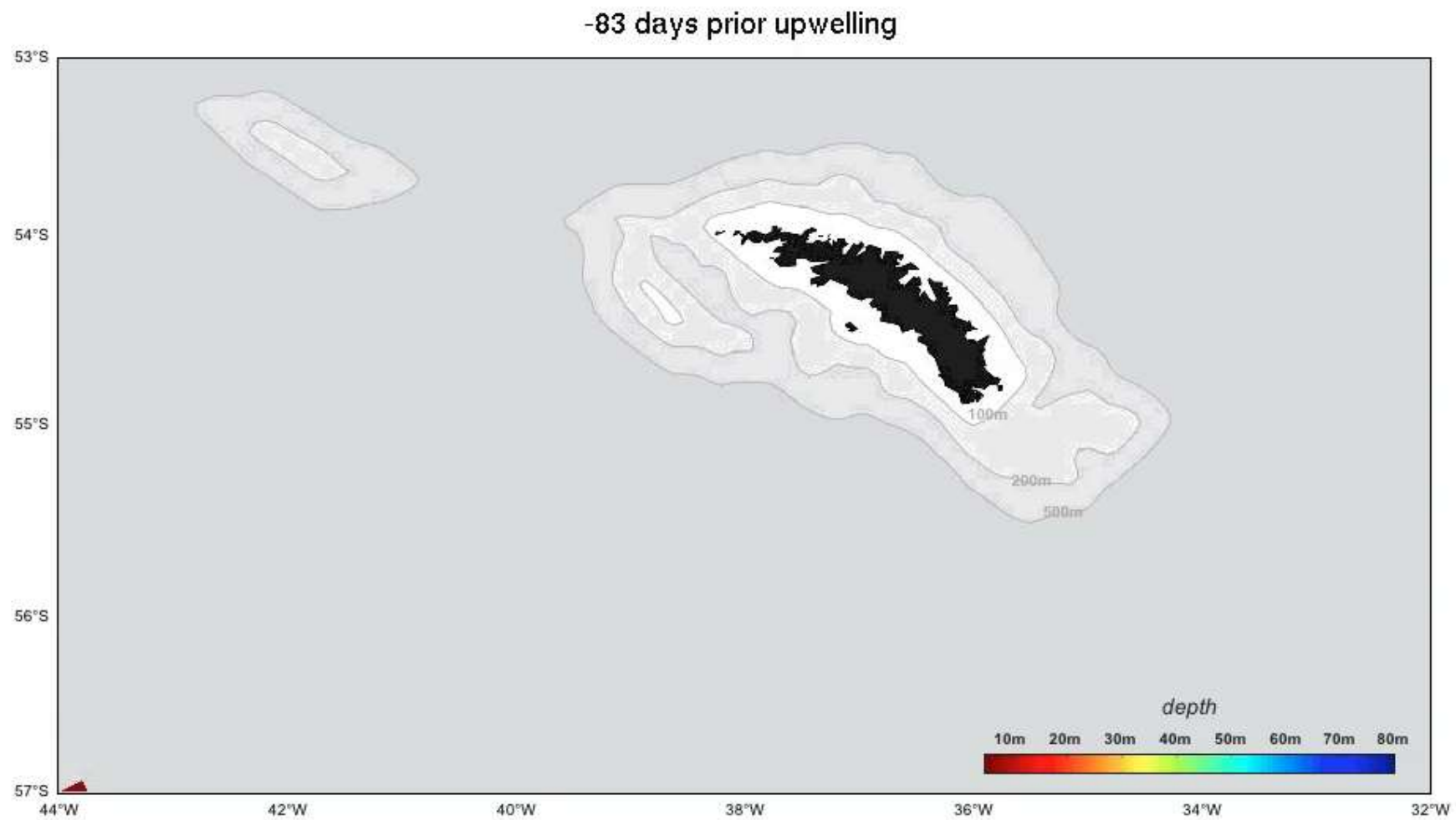
Winds
→



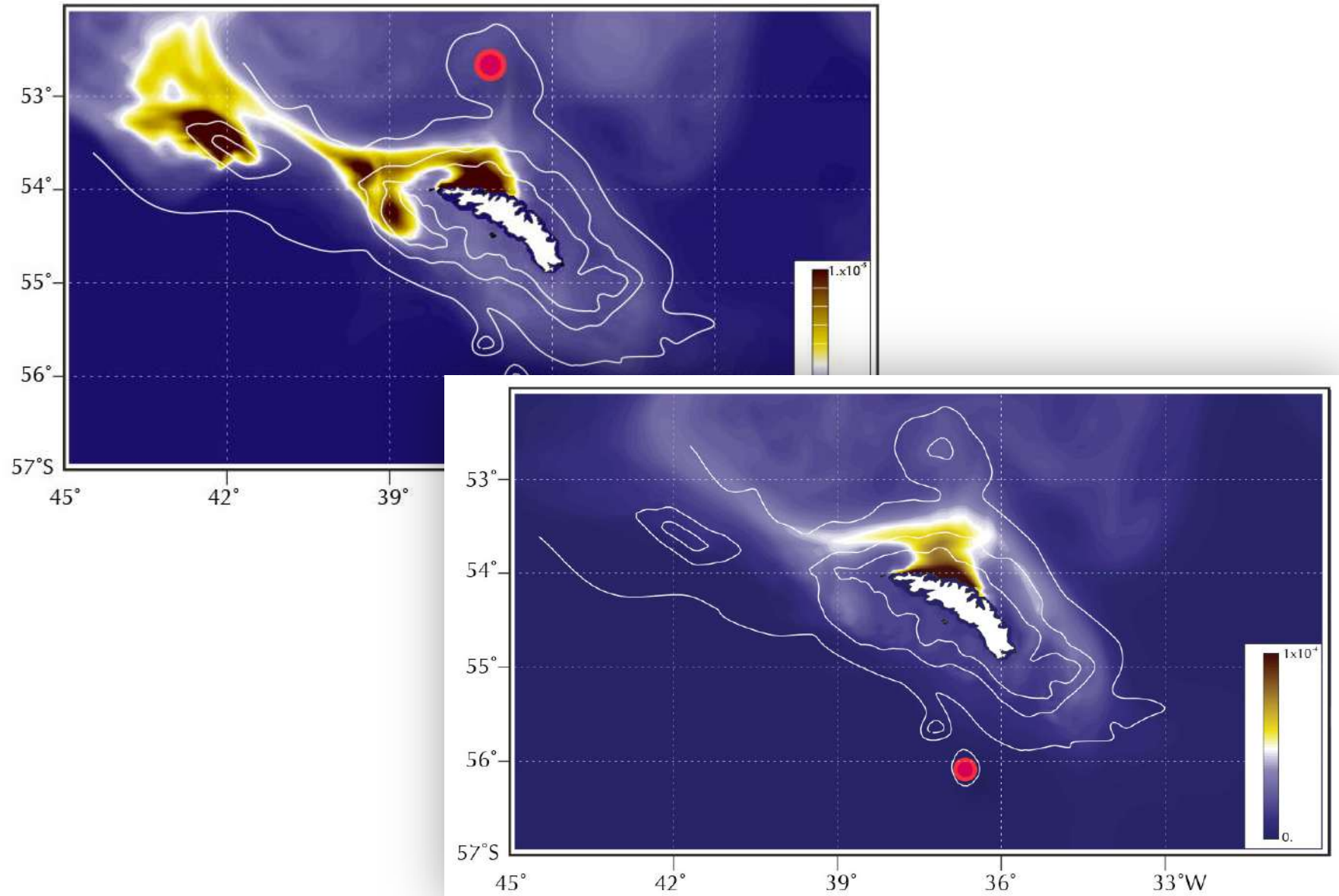
Cross-Shelf Tracer Distribution



La Trayectoria de 1 (una) Particula

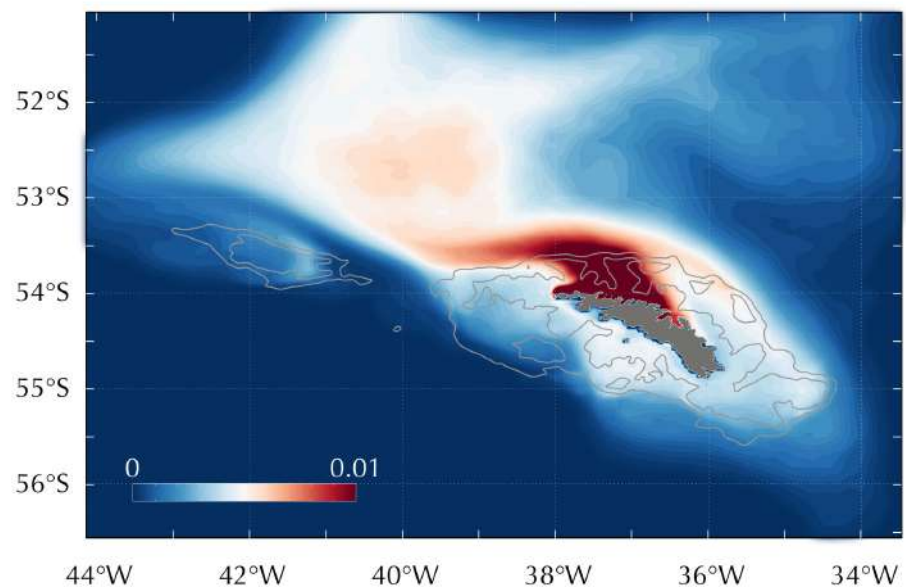


Fertilization from seamounts

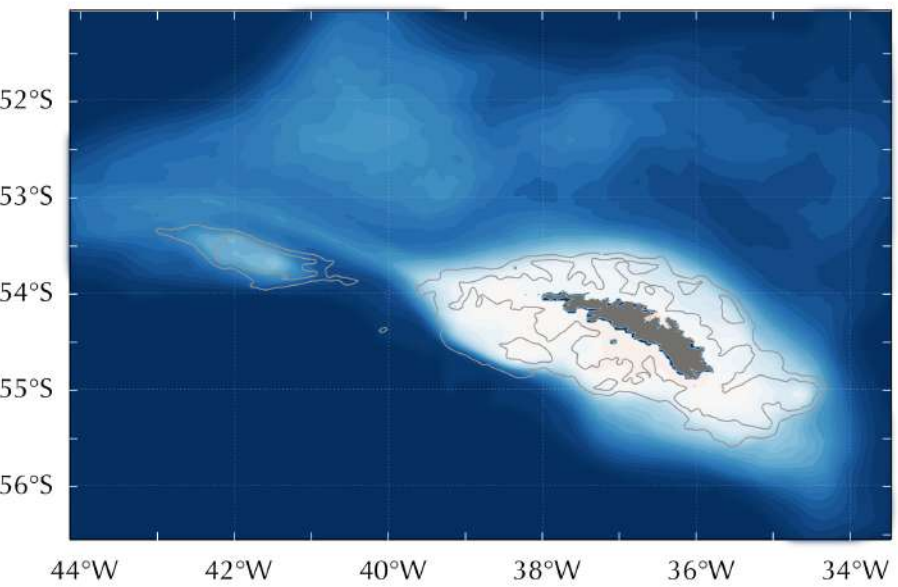


Estudio de Sensibilidad

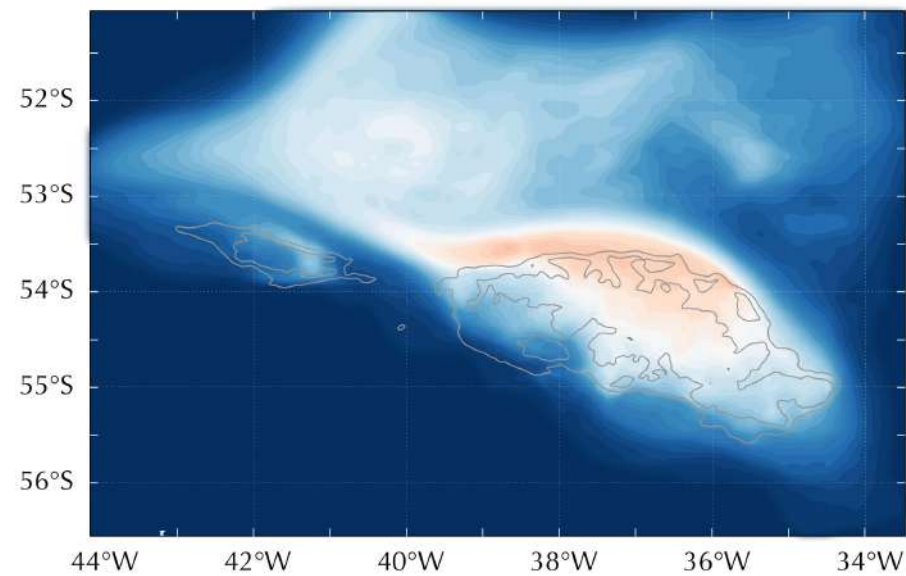
CONTROL



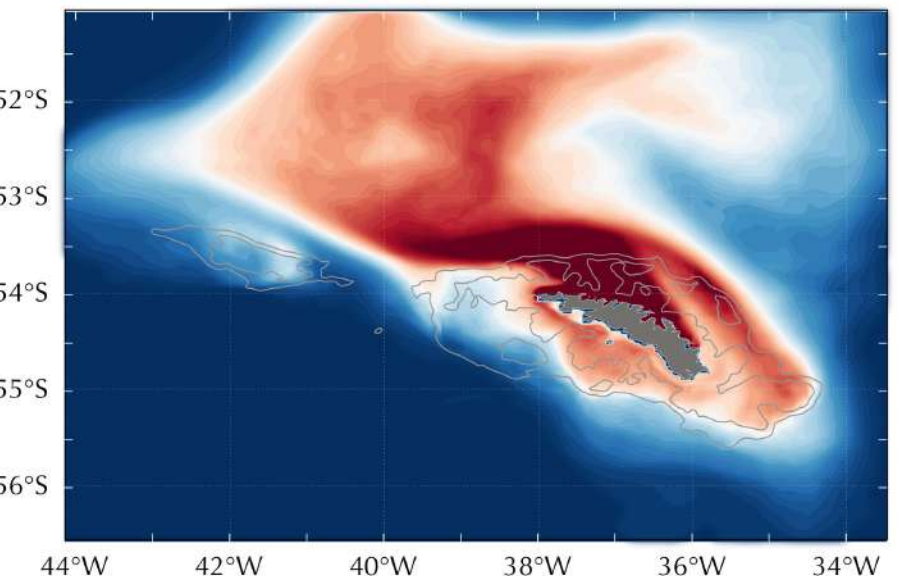
NO WIND

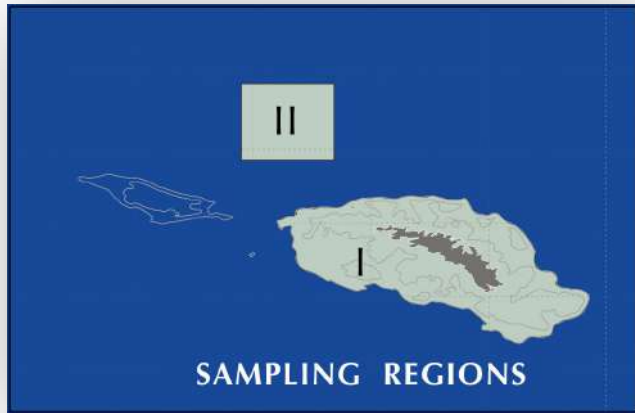


NO S. GEORGIA

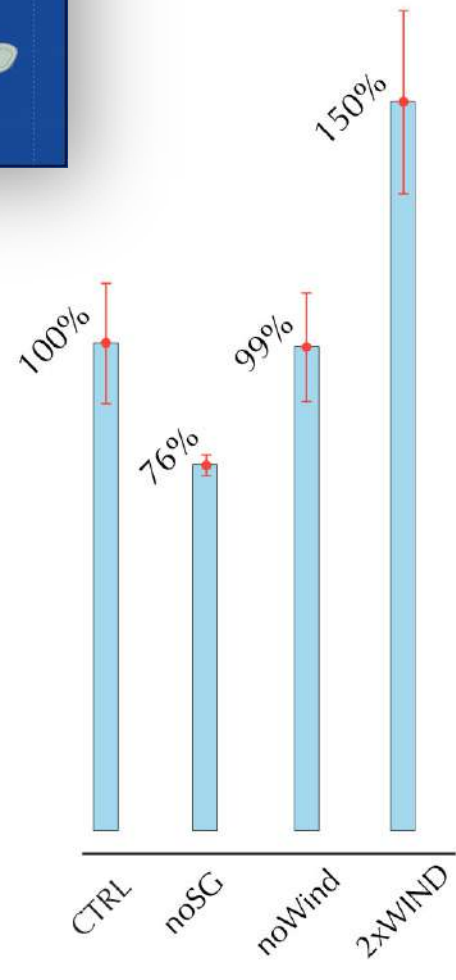


2*WIND

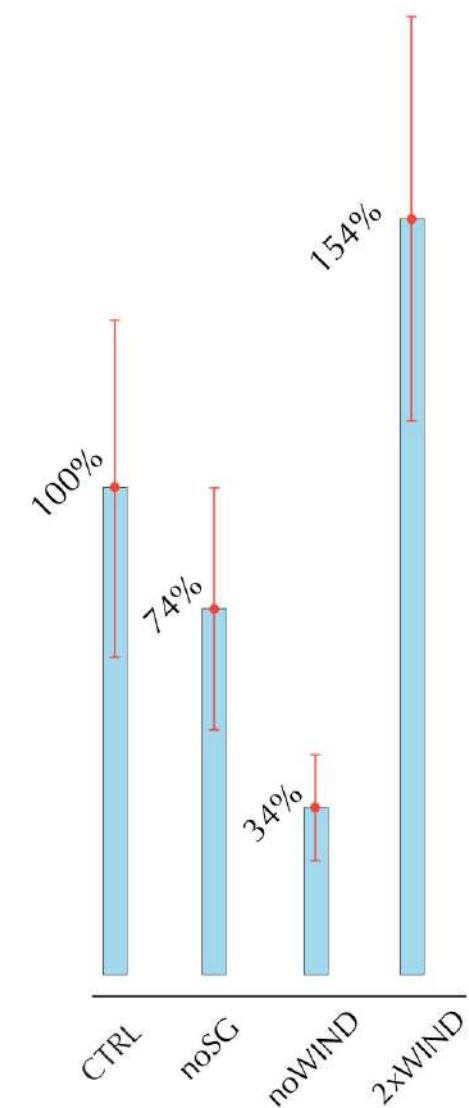




Sensitivity of South Georgia Fertilization Processes



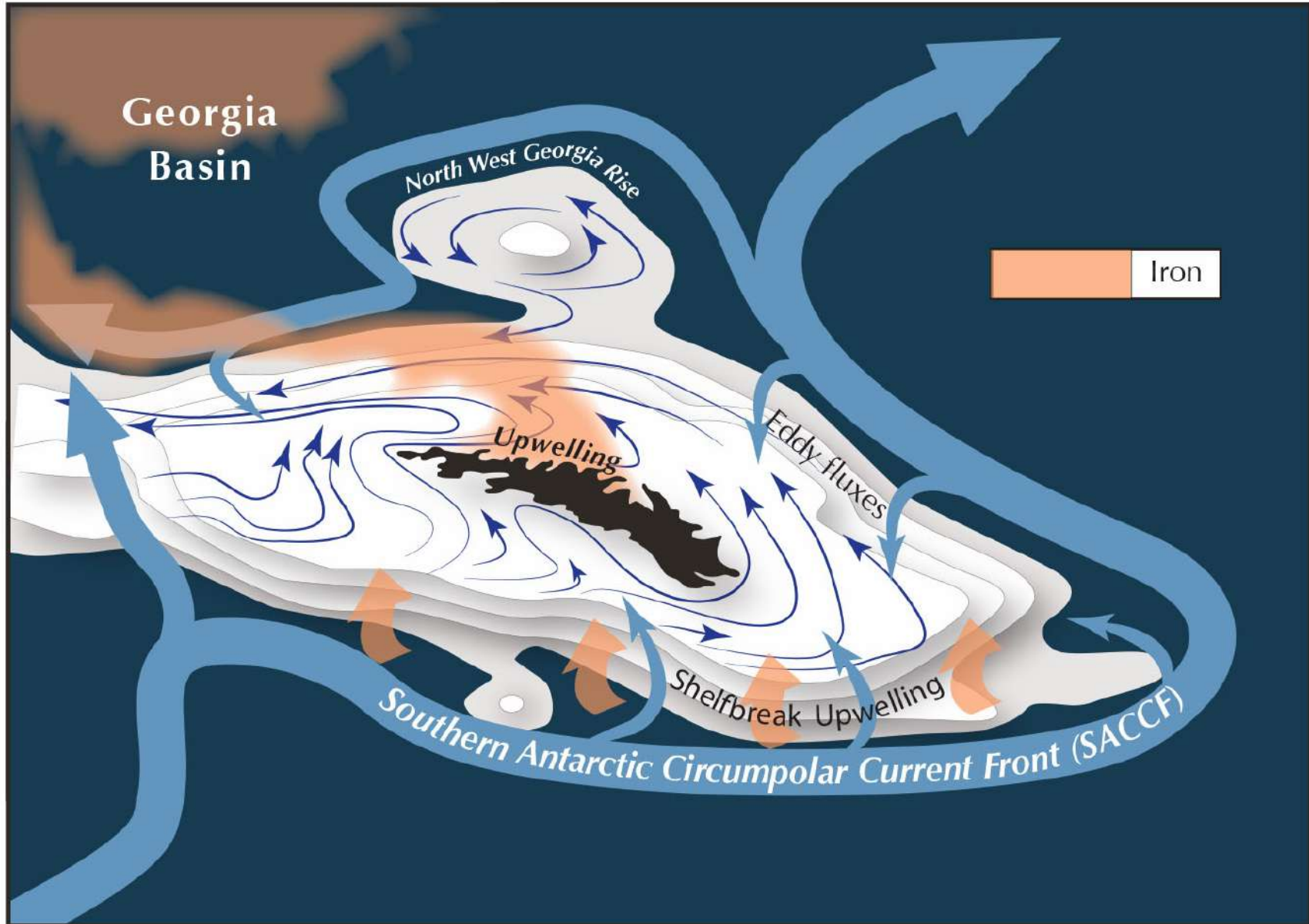
REGION I (Shelf)



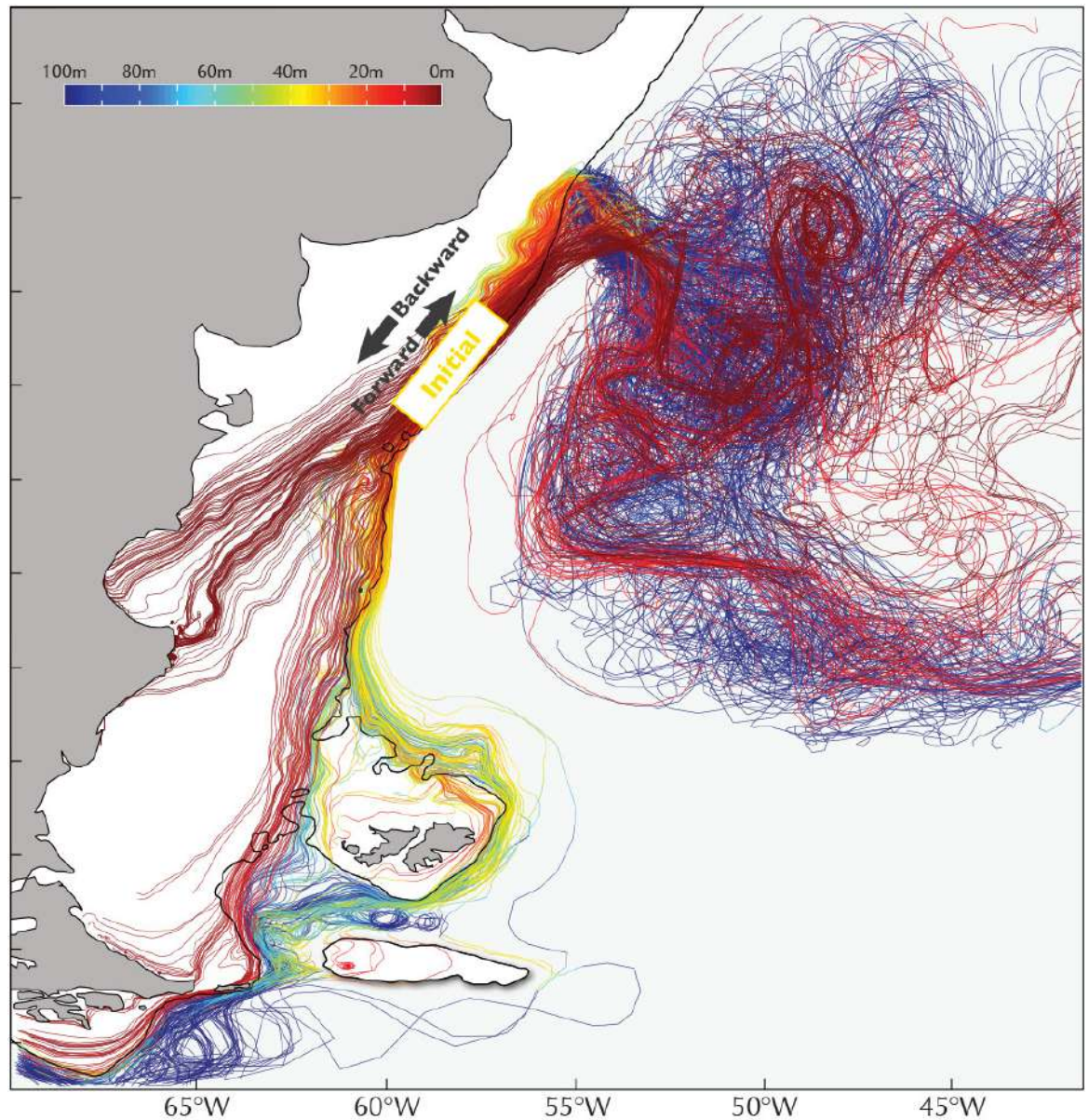
REGION II (Deep Ocean)

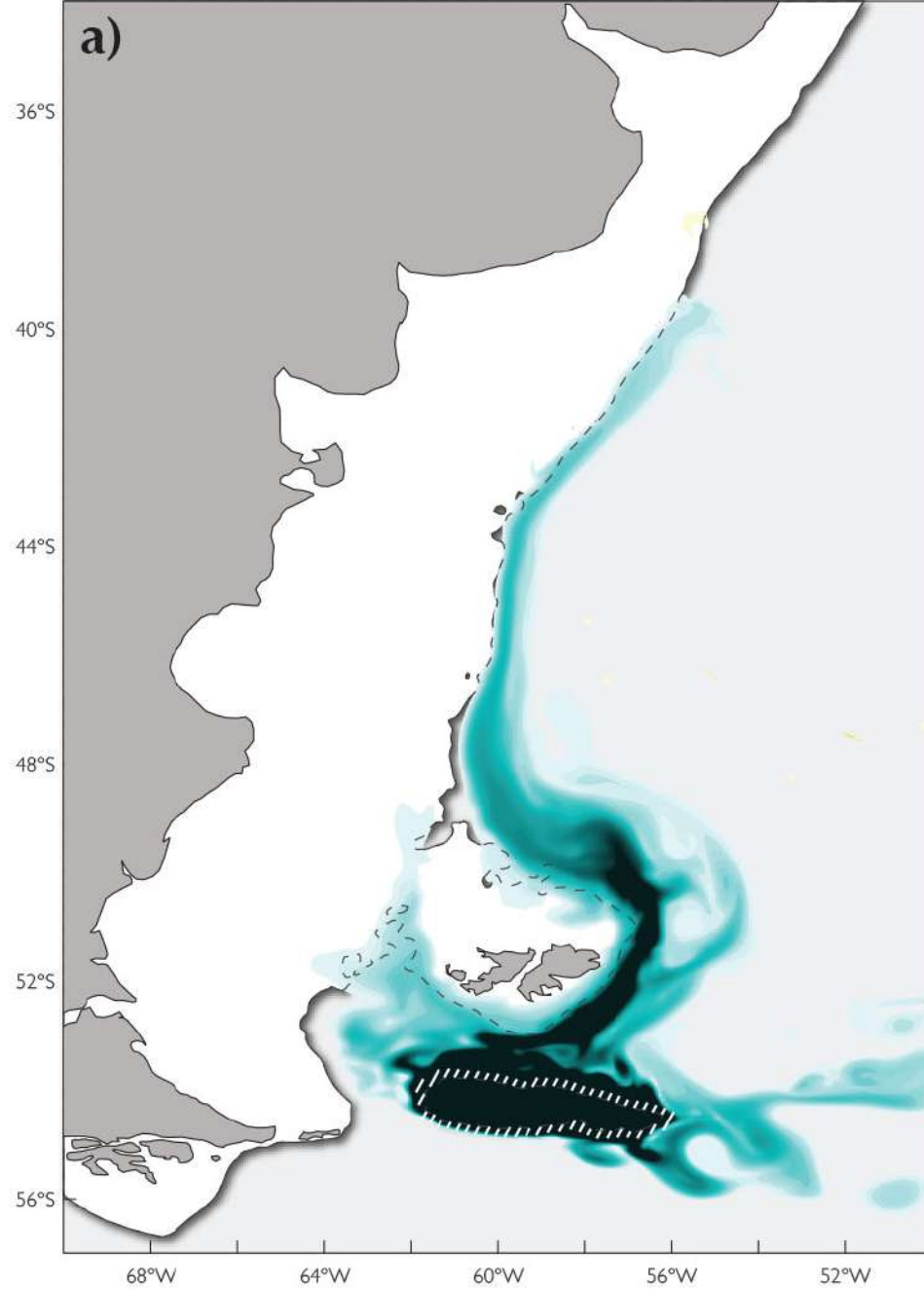
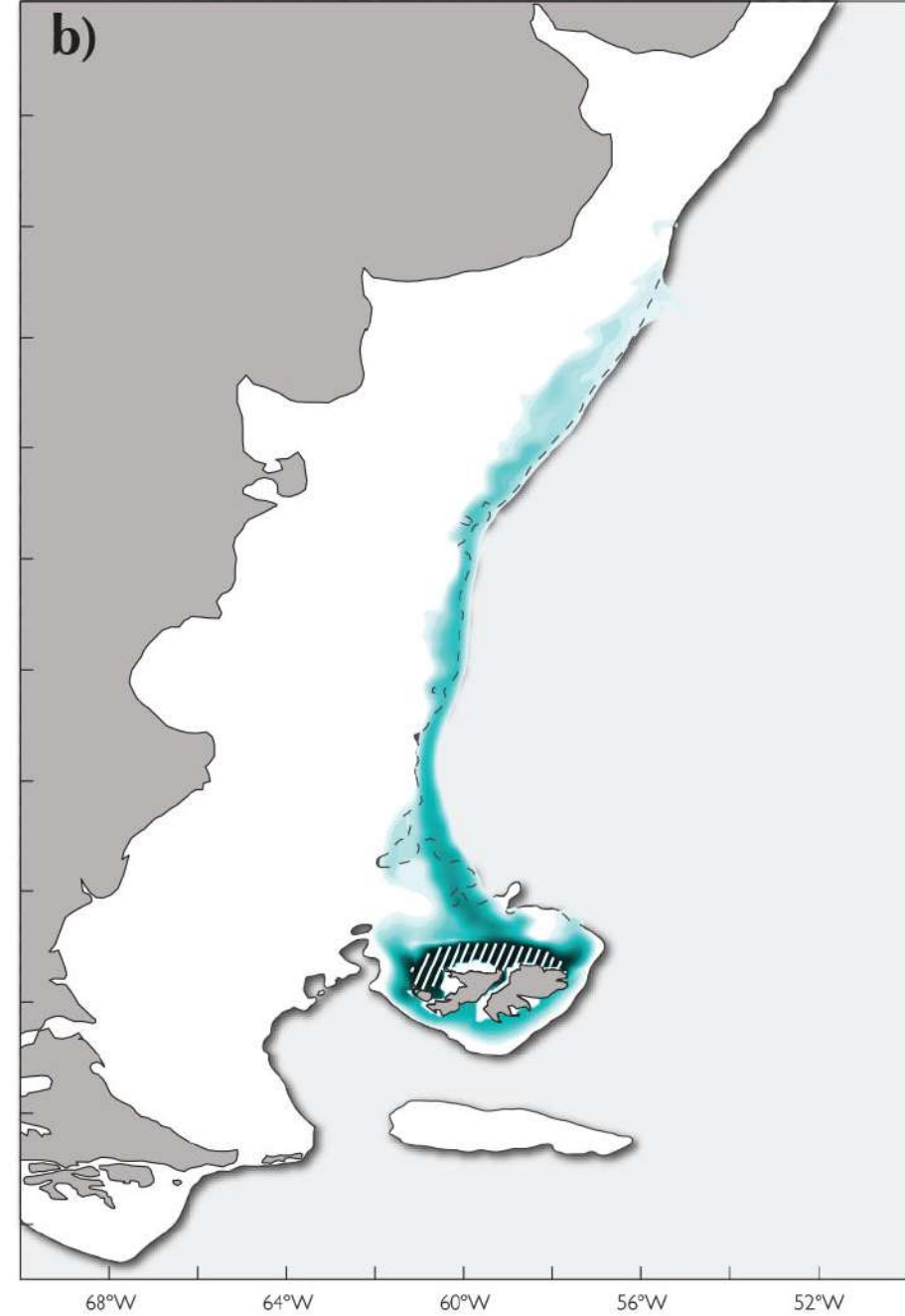
Comentarios Finales

Procesos de Fertilización



Surgencia de talud: orígenes y destino



a)**b)**

Circulación alrededor de Malvinas

